

11th Dec. 2021 @ DECIGO workshop

インフレーションの「現在」と重力波



多田 祐一郎 (名古屋大学 YLC 特任助教)



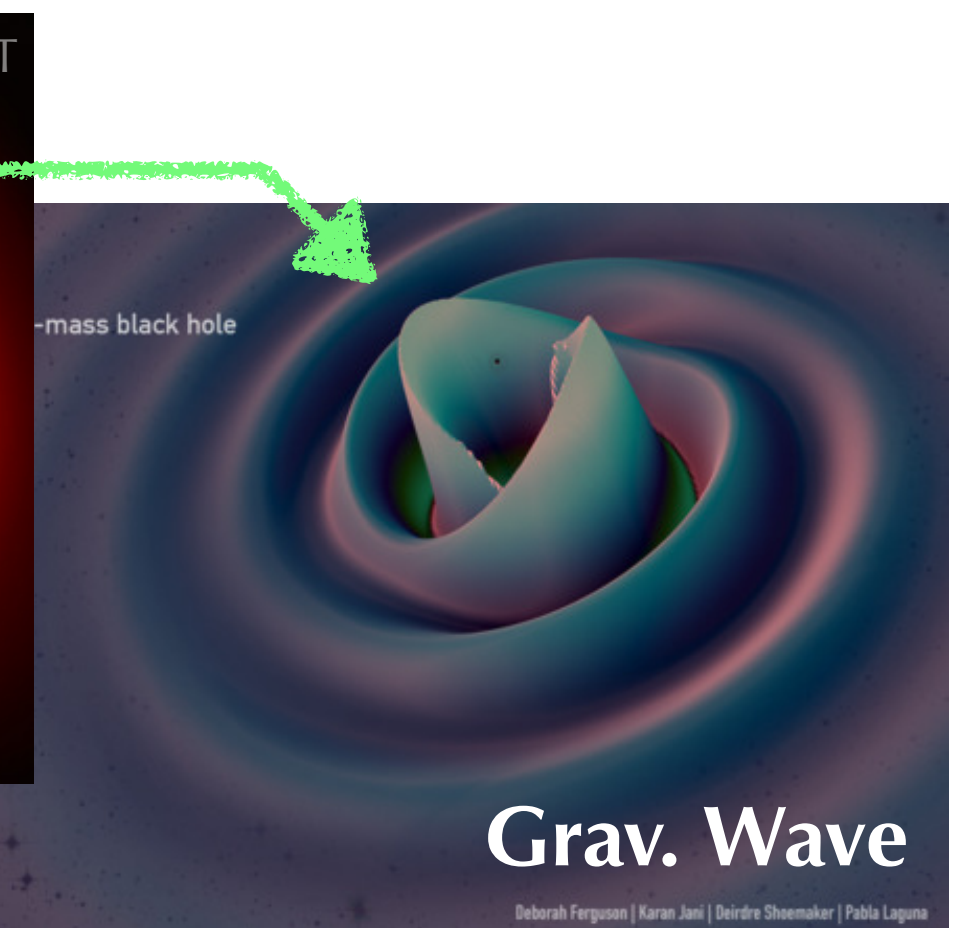
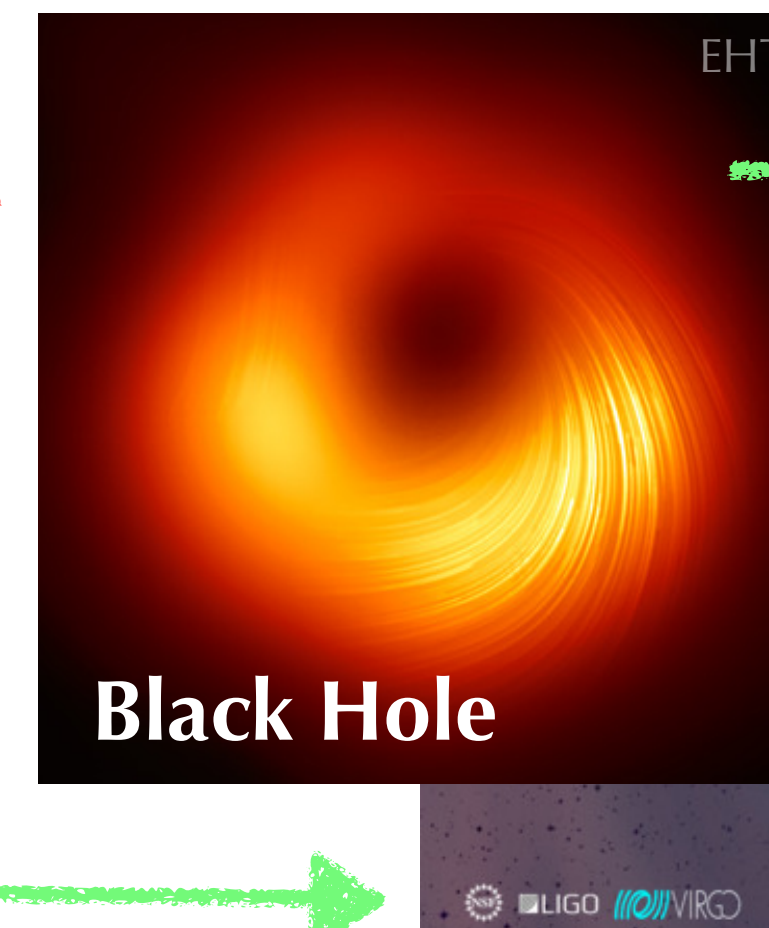
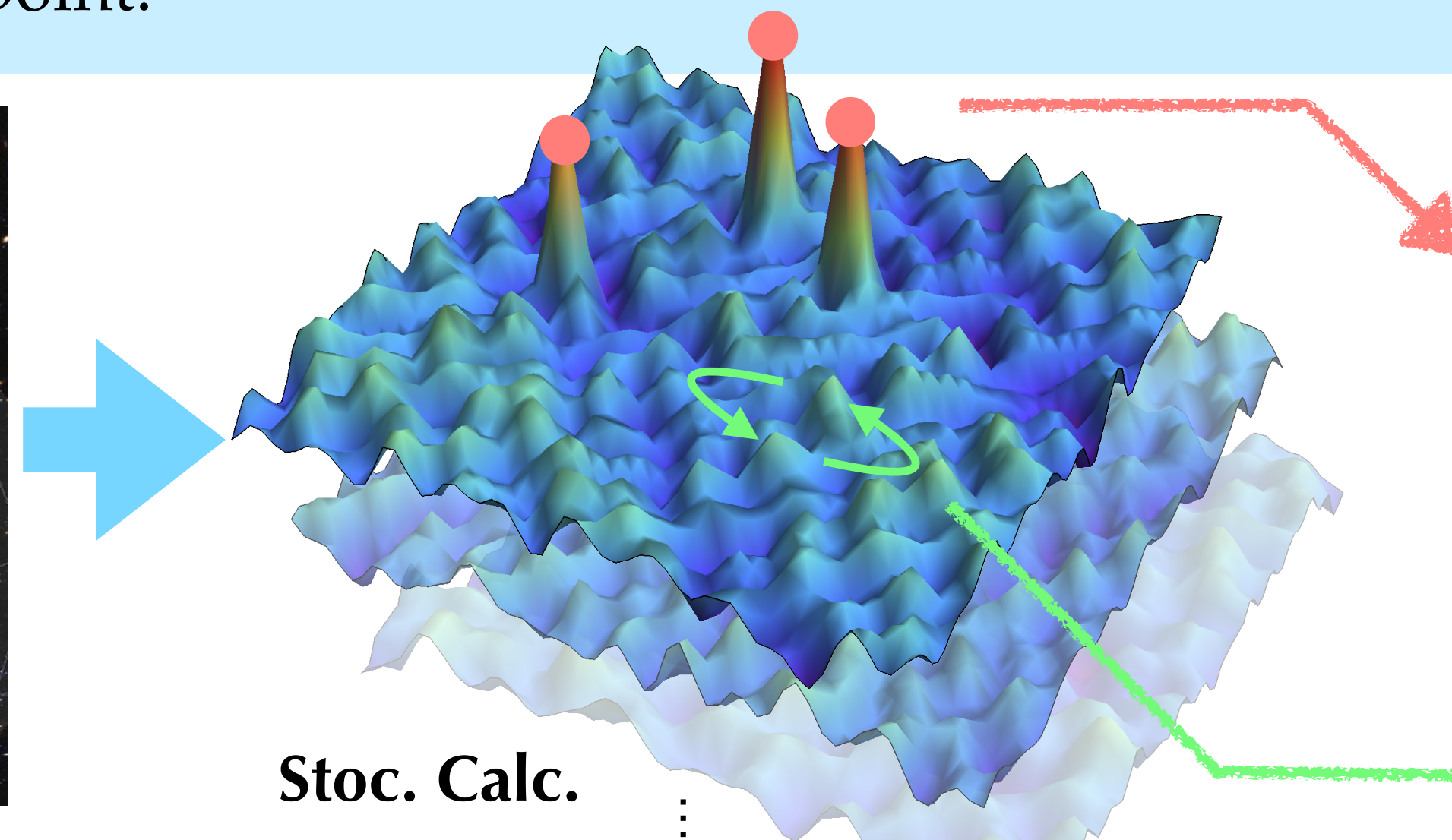
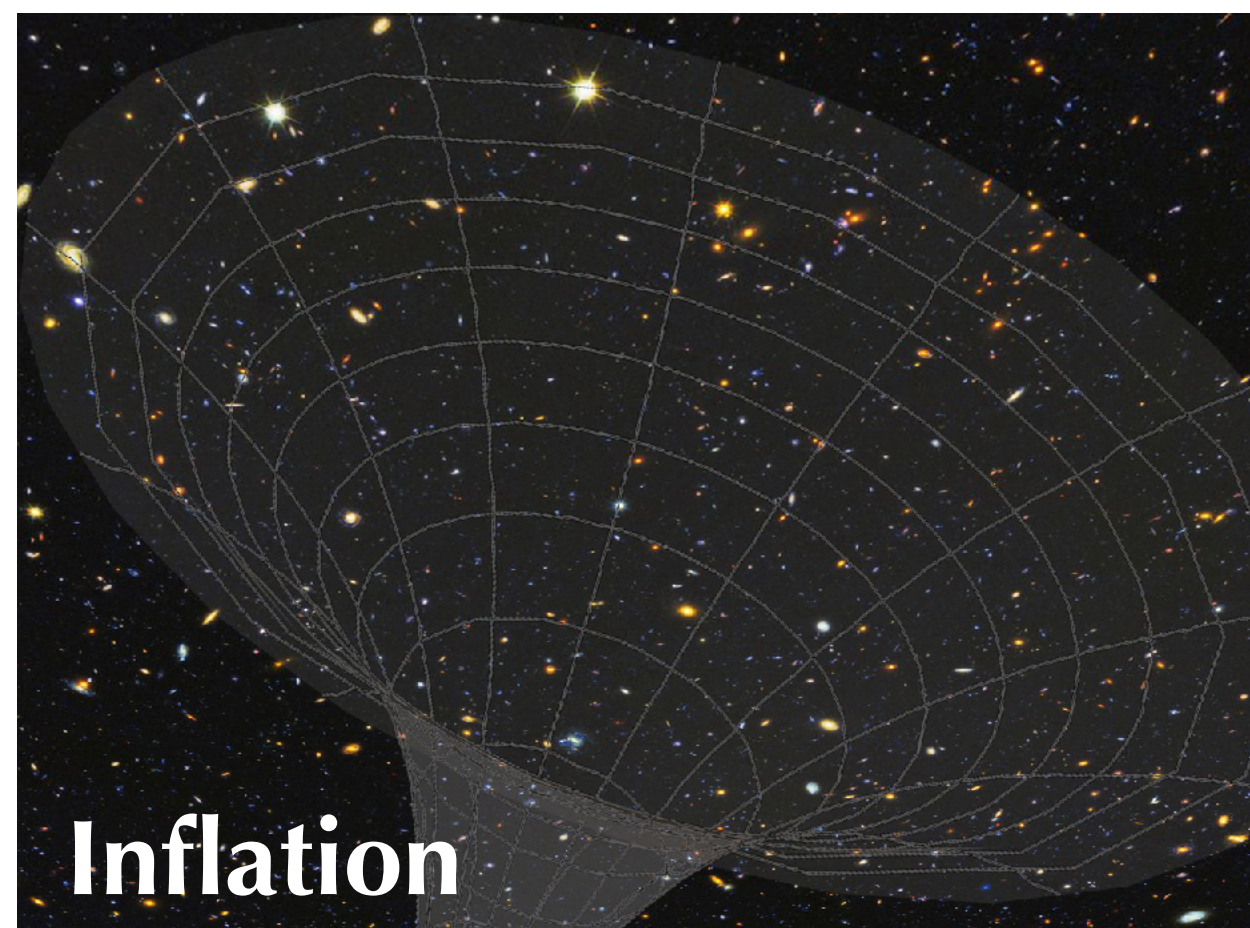
Yuichiro TADA (多田 祐一郎)

tada.yuichiro@e.mbox.nagoya-u.ac.jp

2017 Mar.	Ph.D. (Science)	The University of Tokyo (KavliIPMU & ICRR)
2017 Apr.	PD researcher	Institute d'Astrophysique de Paris
2018 Apr.	JSPS fellow (PD)	Nagoya University (C-lab.)
2021 Apr.	Designated Asst. Prof. (YLC)	Nagoya University (C-lab.)

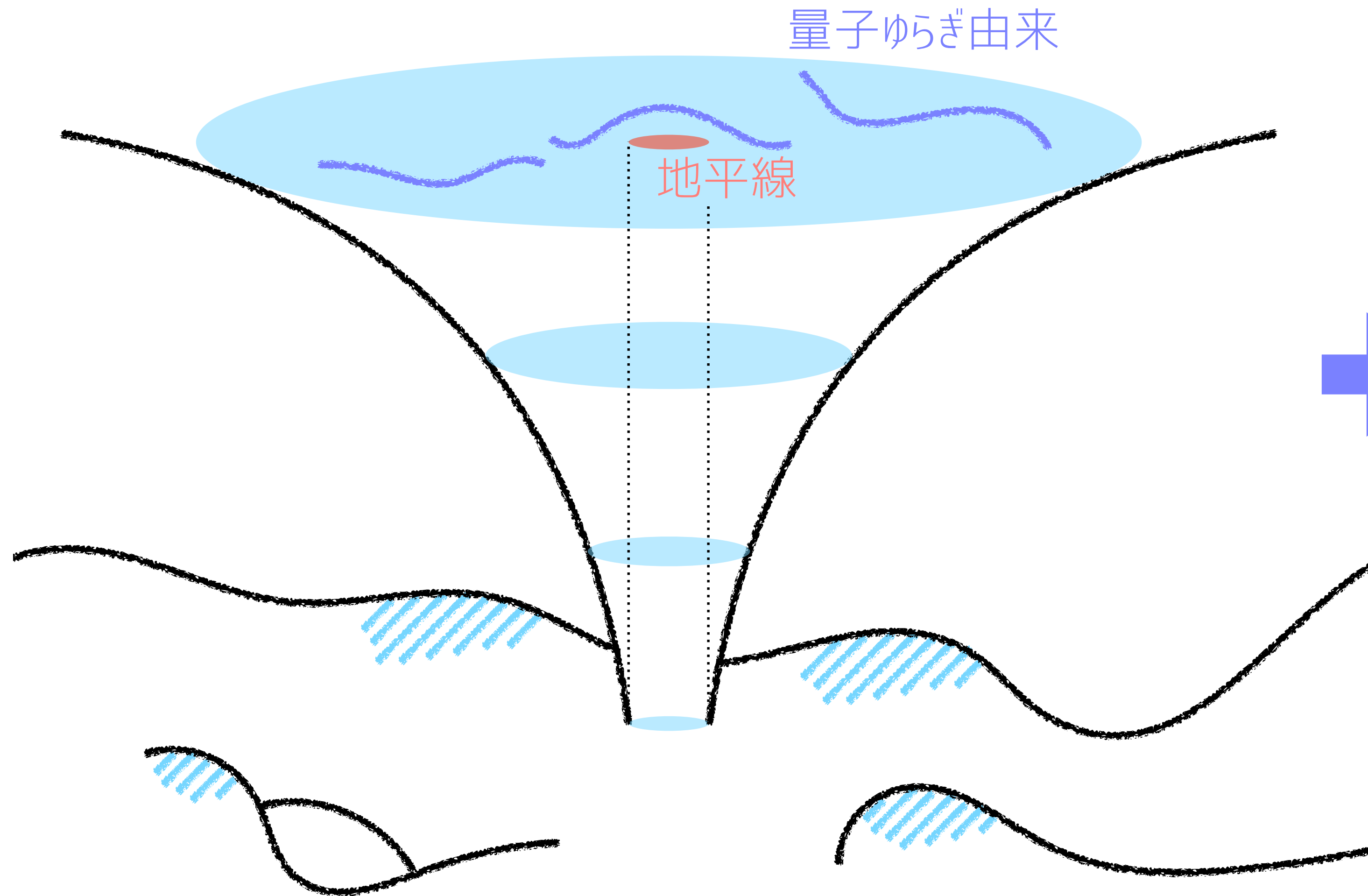
Research Topic: Approach to Cosmic Inflation in light of Stochastic Calc., Prim. Black Hole, and Grav. Wave

Our universe is thought to start with an accelerated expansion phase called **Inflation**. It can source various cosmic structures (e.g., galaxy) from quantum fluctuation, but its expansion mechanism has not been explained. As a possible sourced object, **Primordial Black Hole** (原始ブラックホール) has attracted attention as a candidate of **Dark Matter** (暗黒物質). **Gravitational Wave** (重力波) is also attractive because it can be directly detected now. I have proposed a powerful algorithm to evaluate their production by applying **Stochastic Calculus** (確率解析), and am approaching to the inflation mechanism from these viewpoint.



インフレーションとは

- ▶ 熱いビッグバン宇宙の前の加速膨張期



宇宙は { 大局的には一様等方
局所的には豊かな構造
(星, 銀河, ...)

インフレーションとは

▶ 量子ゆらぎの特徴量

- 曲率ゆらぎ ζ (\simeq 重力ポテンシャル, c.f. 密度ゆらぎ) のパワースペクトル $\mathcal{P}_\zeta(k)$

$$\mathcal{P}_\zeta(k = 0.05 \text{ Mpc}^{-1}) = 2.1 \times 10^{-9} \sim \left(\frac{\Delta T_{\text{CMB}}}{T_{\text{CMB}}} \right)^2 \sim (10^{-5})^2$$

$$n_s := 1 + \left. \frac{d \ln \mathcal{P}_\zeta}{d \ln k} \right|_{k=0.05 \text{ Mpc}^{-1}}$$

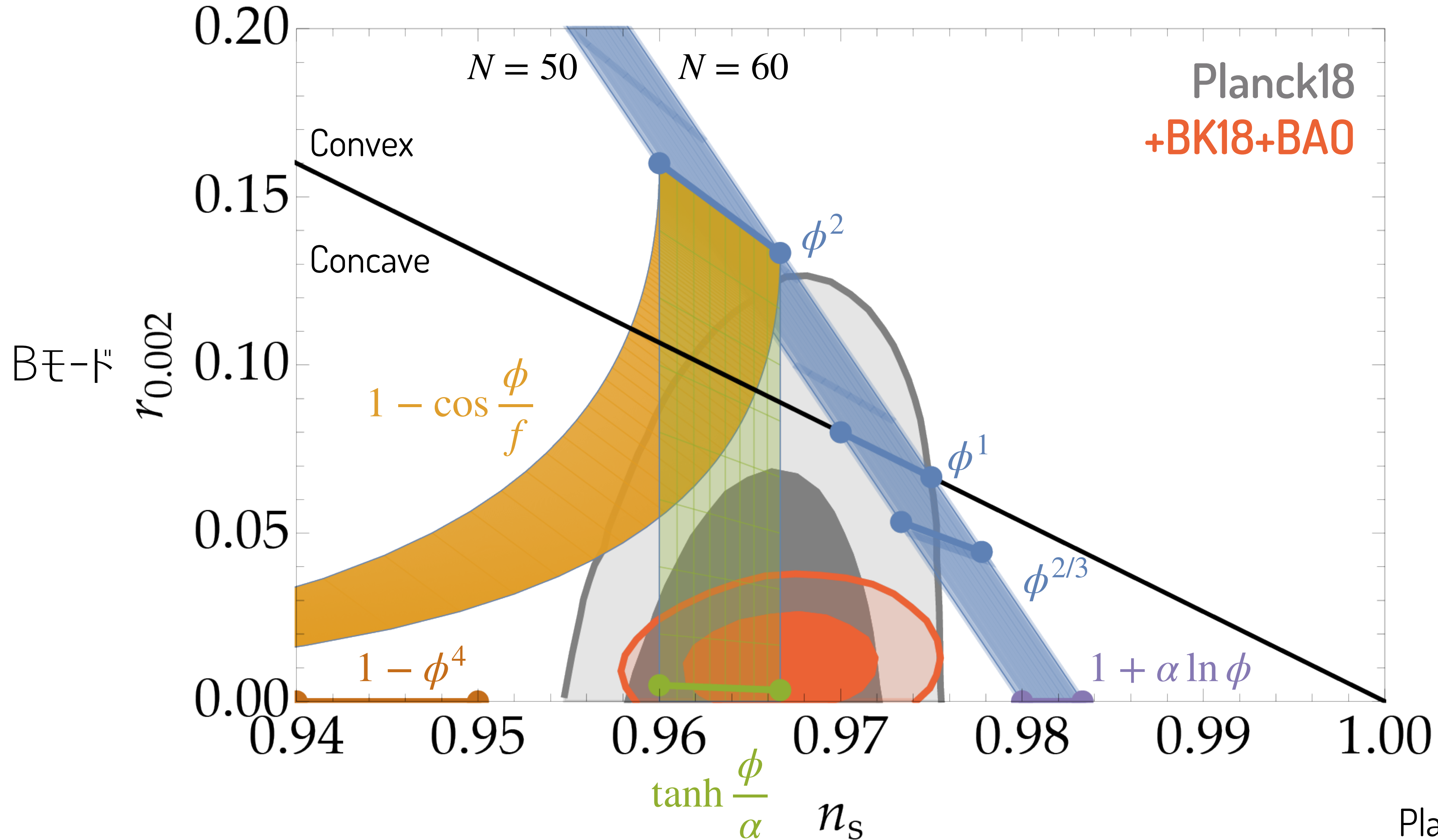
- 重力波 h のパワースペクトル $\mathcal{P}_h(k)$

$$r := \left. \frac{\mathcal{P}_h(k)}{\mathcal{P}_\zeta(k)} \right|_{k=0.05 \text{ Mpc}^{-1}} = \frac{\mathcal{P}_h(k = 0.05 \text{ Mpc}^{-1})}{2.1 \times 10^{-9}}$$

最新 CMB 制限

$$n_s := 1 + \left. \frac{d \ln \mathcal{P}_\zeta}{d \ln k} \right|_{k=0.05 \text{ Mpc}^{-1}}$$

$$r_{0.002} := \left. \frac{\mathcal{P}_h(k)}{\mathcal{P}_\zeta(k)} \right|_{k=0.002 \text{ Mpc}^{-1}}$$

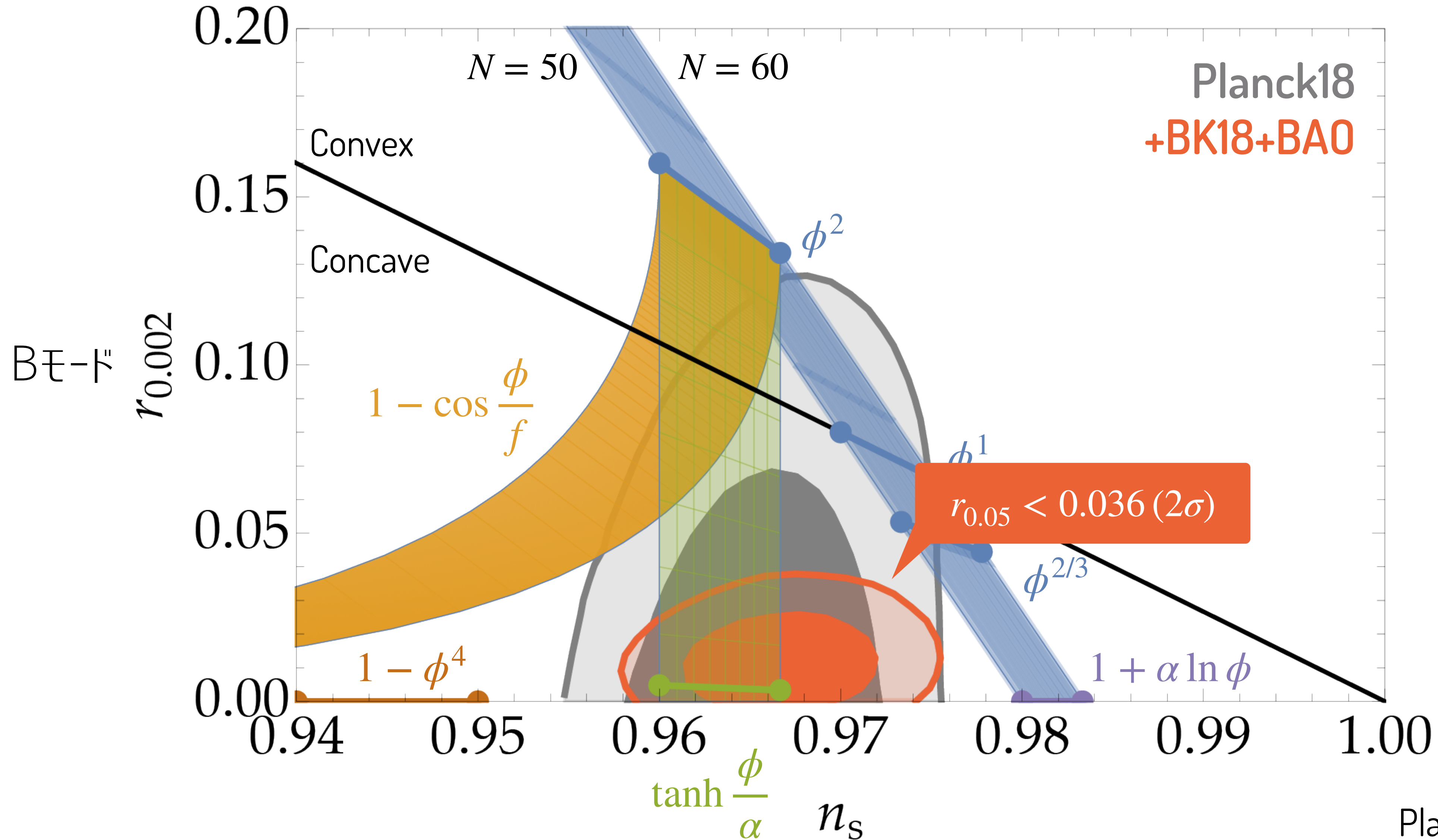


Planck '18, BK '21

最新 CMB 制限

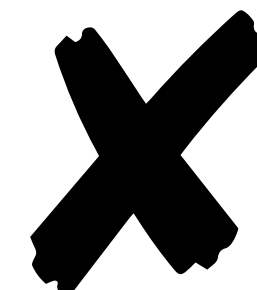
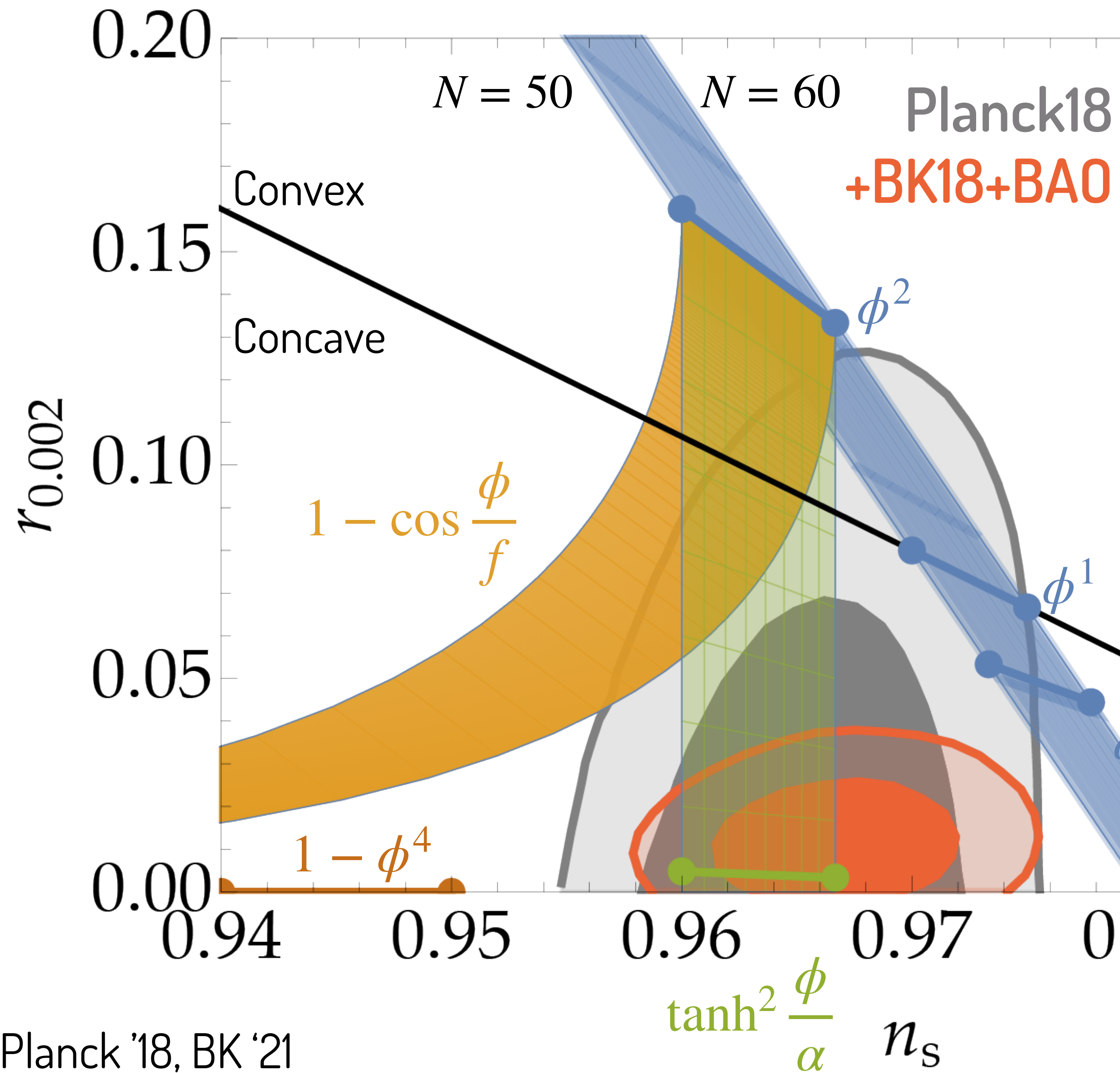
$$n_s := 1 + \left. \frac{d \ln \mathcal{P}_\zeta}{d \ln k} \right|_{k=0.05 \text{ Mpc}^{-1}}$$

$$r_{0.002} := \left. \frac{\mathcal{P}_h(k)}{\mathcal{P}_\zeta(k)} \right|_{k=0.002 \text{ Mpc}^{-1}}$$

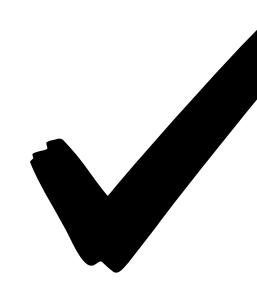


Planck '18, BK '21

最新 CMB 制限



▶ Large-field $r \sim \mathcal{O}(0.1)$
 - chaotic - natural



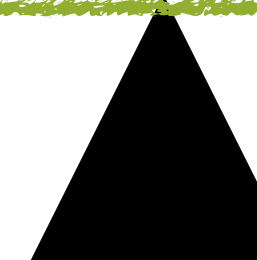
▶ Plateau-type $r \sim \mathcal{O}(10^{-3})$

- Starobinsky

$$\mathcal{L} = \frac{1}{16\pi G} R + \alpha R^2$$

- Higgs

$$\mathcal{L} = \left(\frac{1}{16\pi G} + \xi \mathcal{H}^2 \right) R + \mathcal{L}_{\text{SM}}$$



▶ Small-field $r \ll 1$

- hilltop

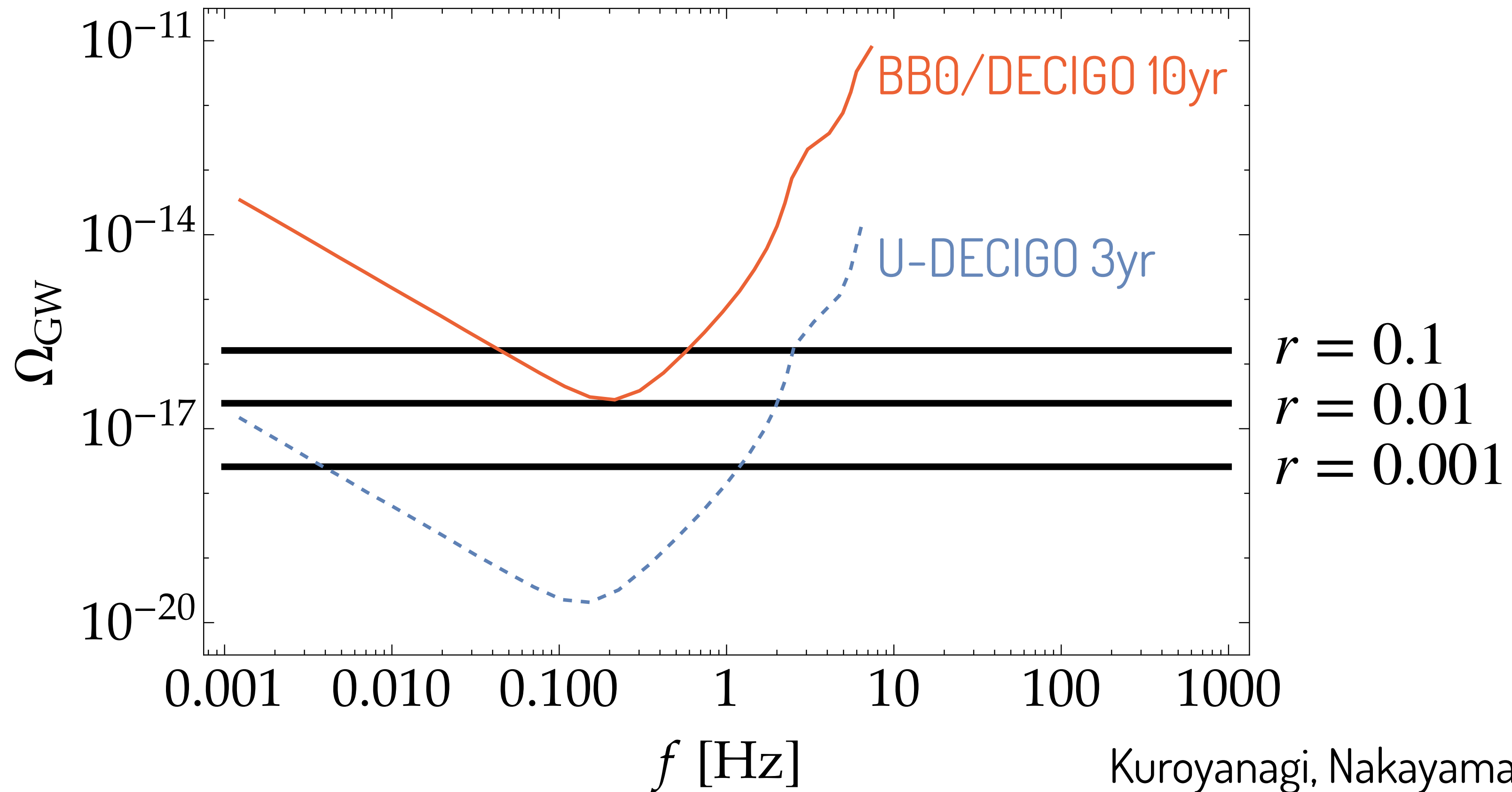
c.f. $1 - \phi^4 - \phi - \dots$

(✓ - curvaton
 check nonGauss

r in DECIGO?

- ▶ RD に horizon に入ってきた重力波

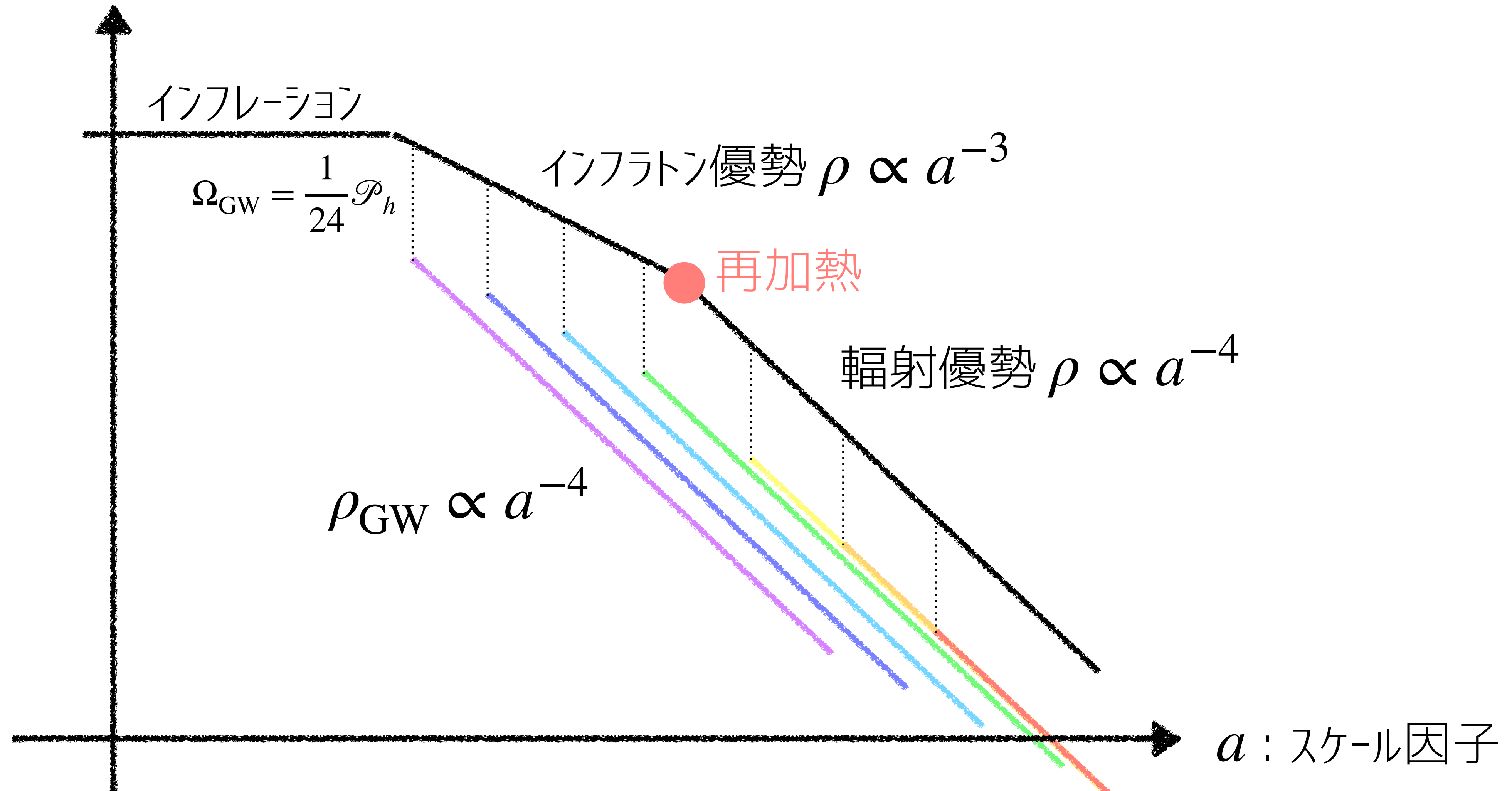
$$\Omega_{\text{GW}} h^2 \simeq \frac{1}{24} \mathcal{P}_h \times \Omega_r h^2 = 4 \times 10^{-15} r \left(\frac{\mathcal{P}_\zeta}{2.1 \times 10^{-9}} \right) \left(\frac{\Omega_r h^2}{4.2 \times 10^{-5}} \right)$$



再加熱

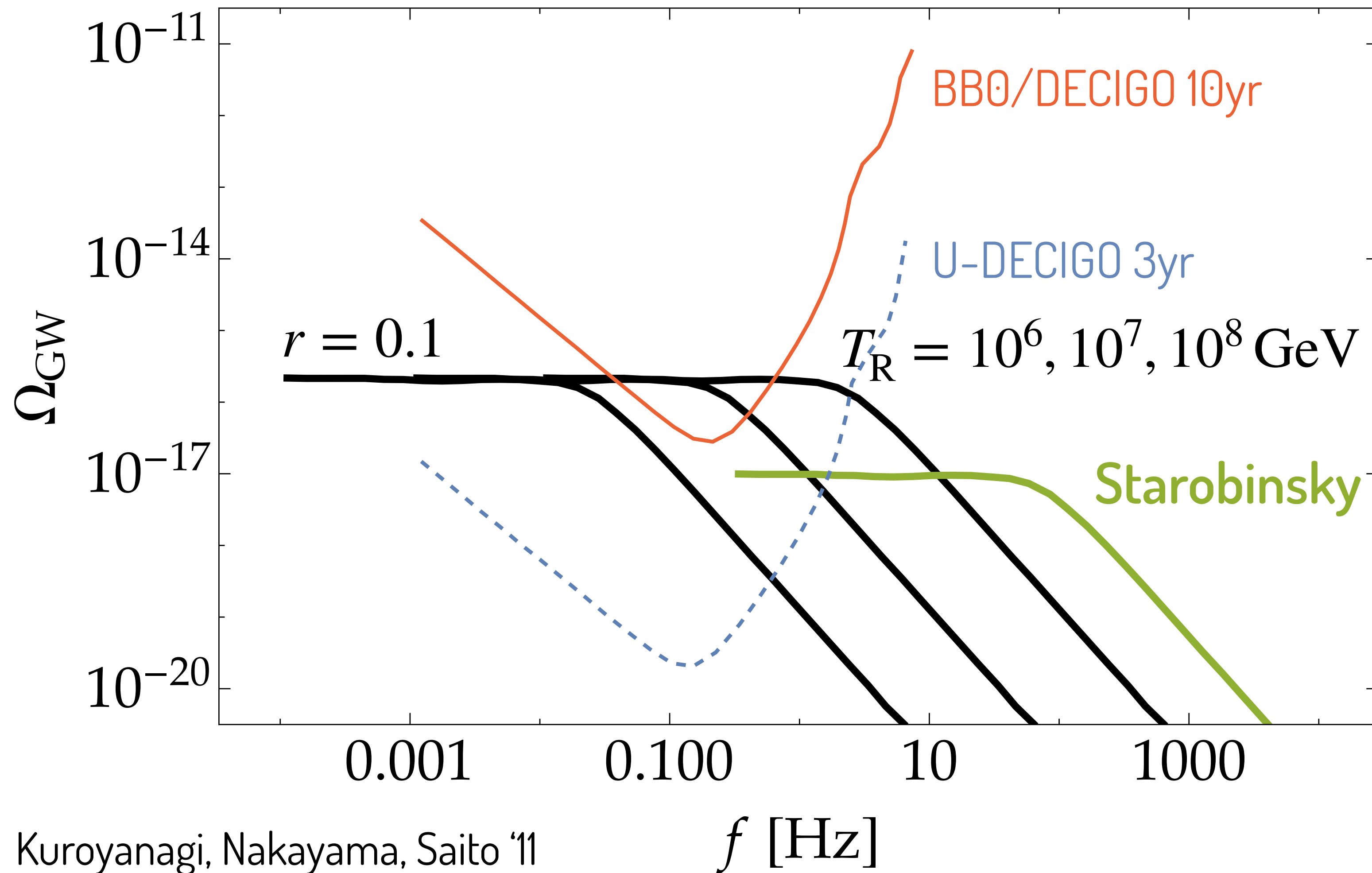
ρ : エネルギー密度

MD に horizon に入ってきた GW は削られる



再加熱

MDに horizon に入ってきた GW は削られる



$$r = 3 \times 10^{-3}$$

- Starobinsky

$$\mathcal{L} = \frac{1}{16\pi G} R + \alpha R^2 + \mathcal{L}_{\text{SM}}$$

→ $T_R = 3 \times 10^9 \text{ GeV}$

- Higgs

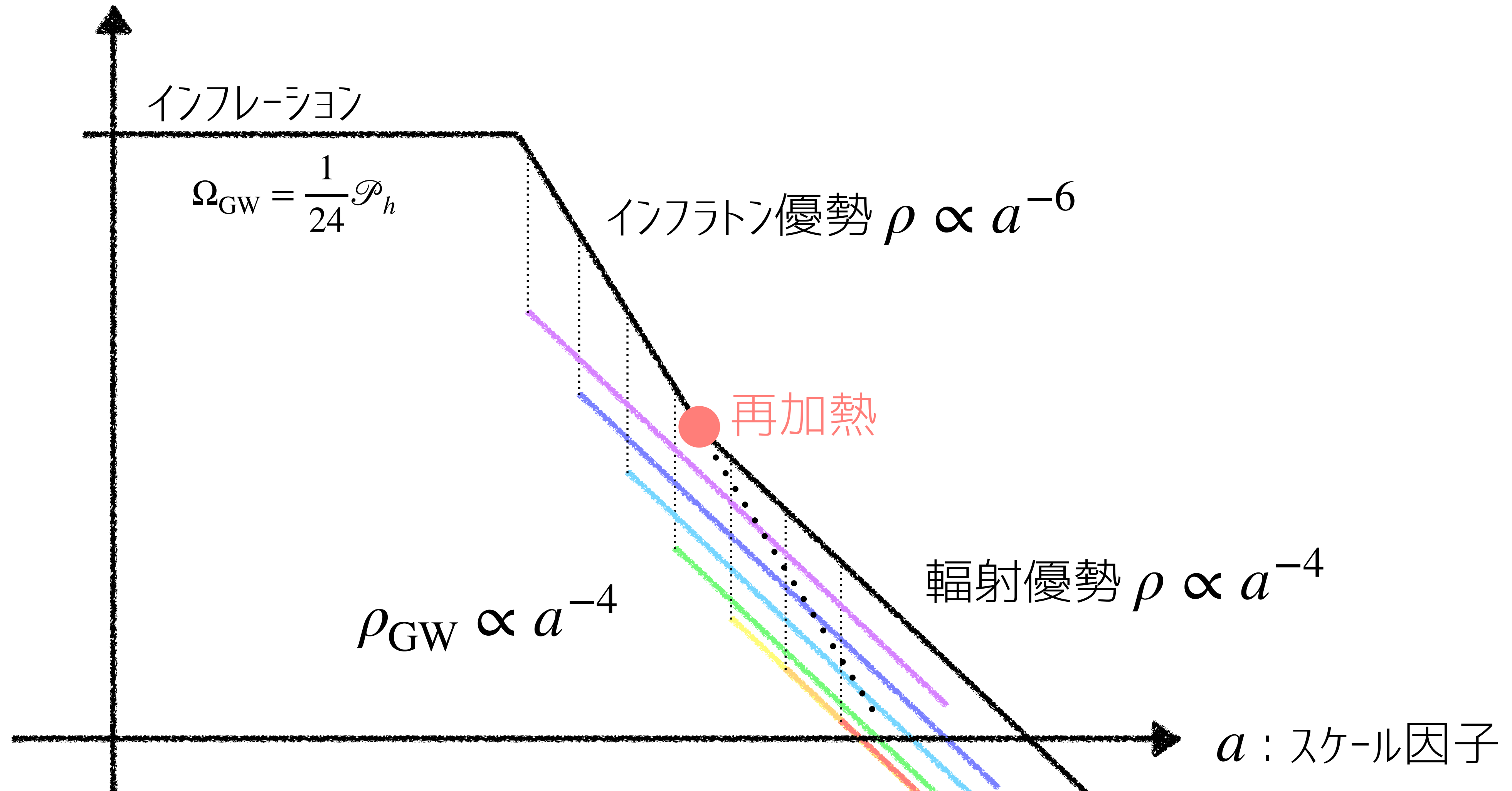
$$\mathcal{L} = \left(\frac{1}{16\pi G} + \xi \mathcal{H}^2 \right) R + \mathcal{L}_{\text{SM}}$$

→ $T_R \sim 10^{14} \text{ GeV}$

Kination

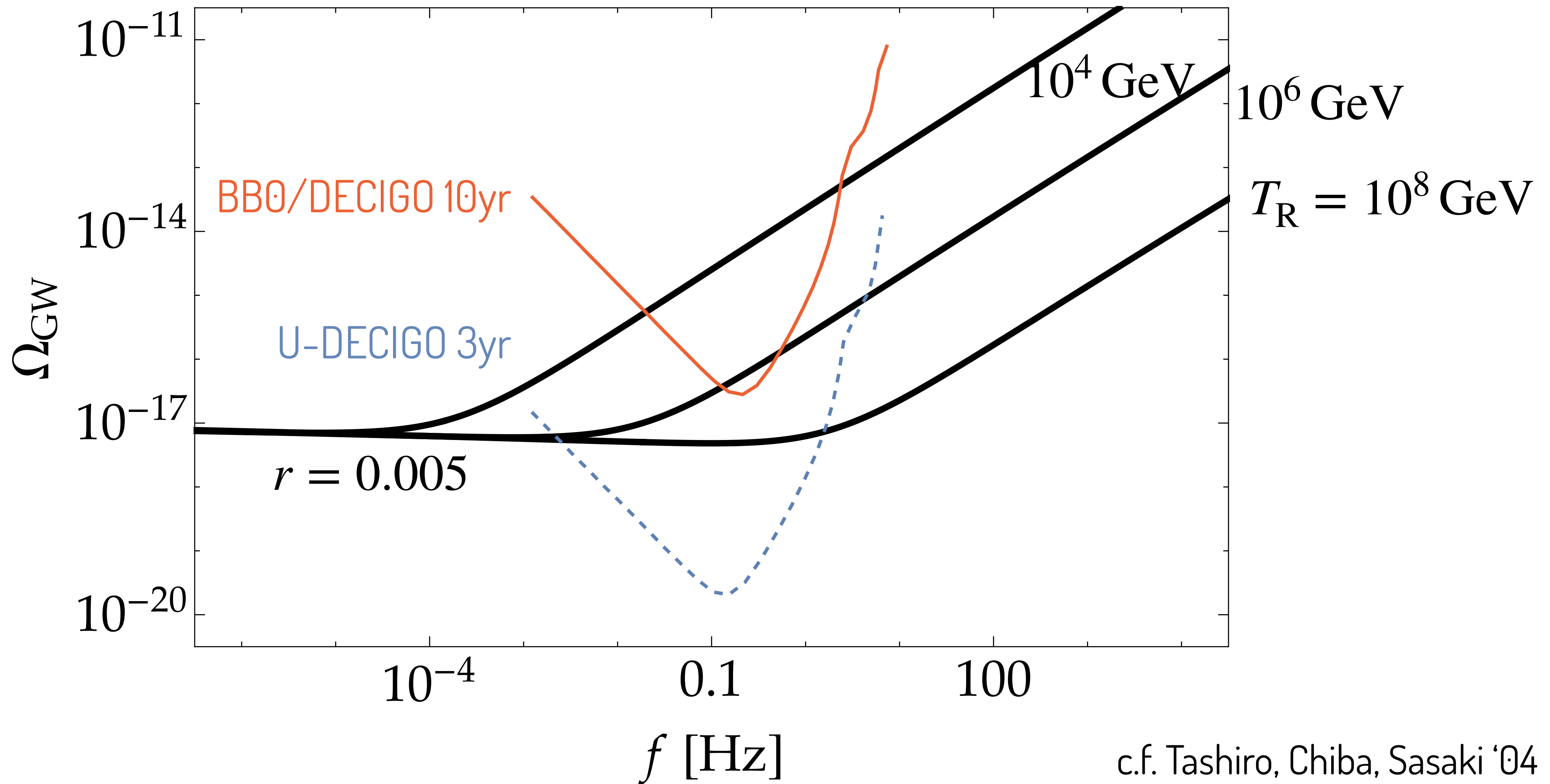
ρ : エネルギー密度

インフロンが運動エネルギーしか持っていなかったら



Kination

インフラトンが運動エネルギーしか持っていなかったら

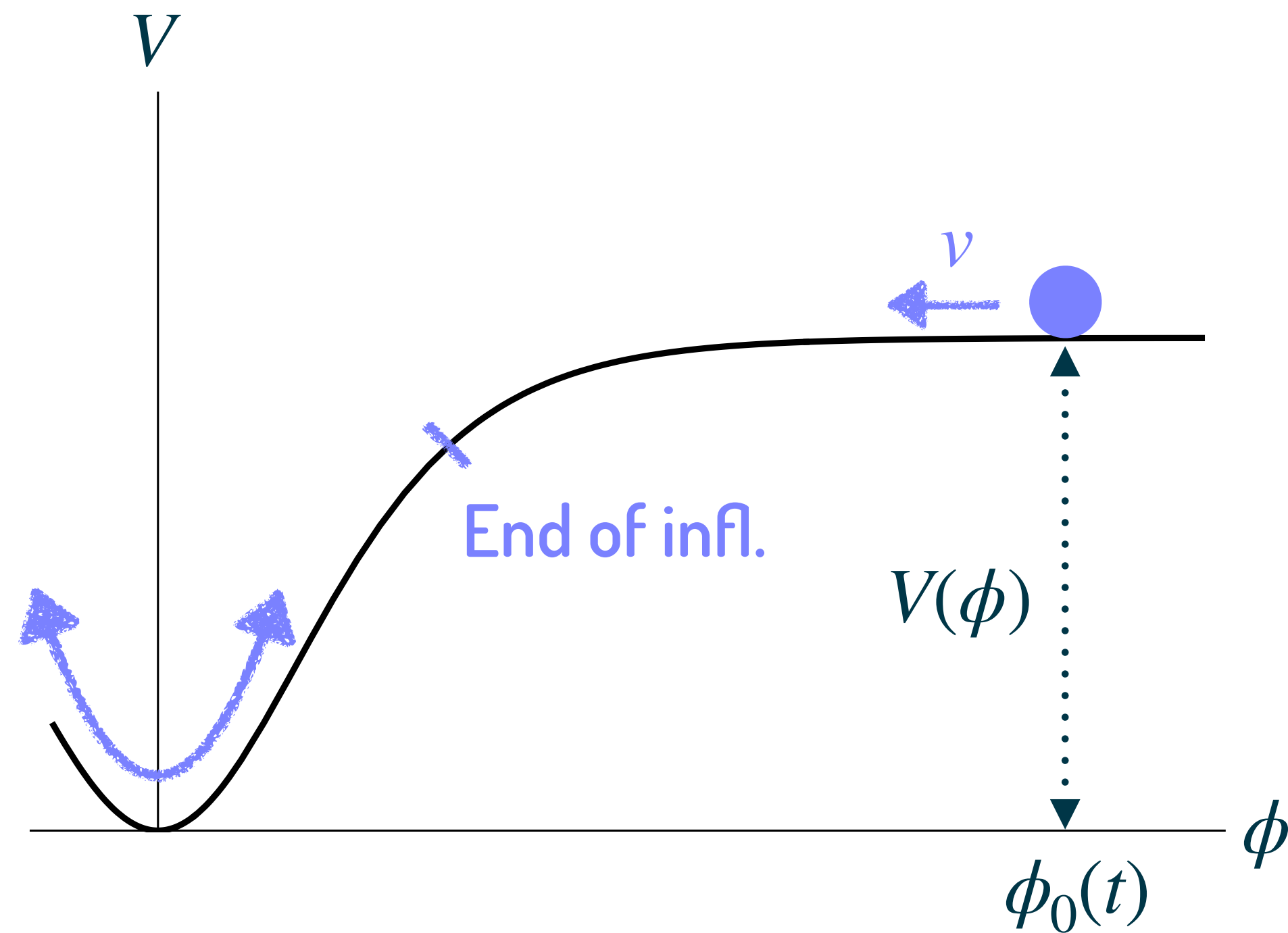


c.f. Tashiro, Chiba, Sasaki '04

k -inflation

Mukhanov+ '99

▶ 通常のインフレーション



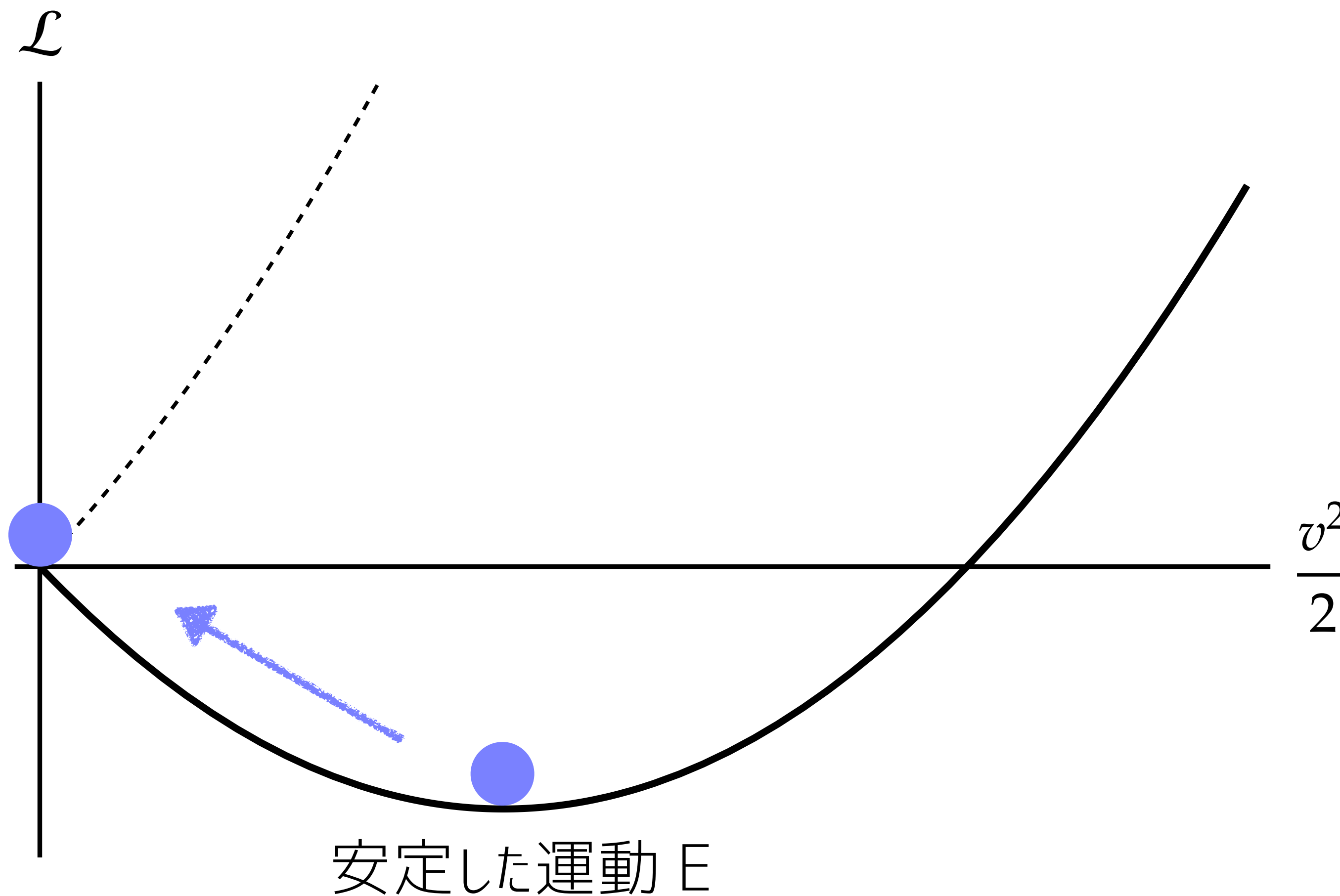
- インフラトンのポテンシャル $E \simeq$ 暗黒 E
- 運動 $E \frac{1}{2}v^2$ はすぐに薄まる

▶ k -inflation

運動 E が薄まらない理論を作ればいい！

k -inflation

Mukhanov+ '99



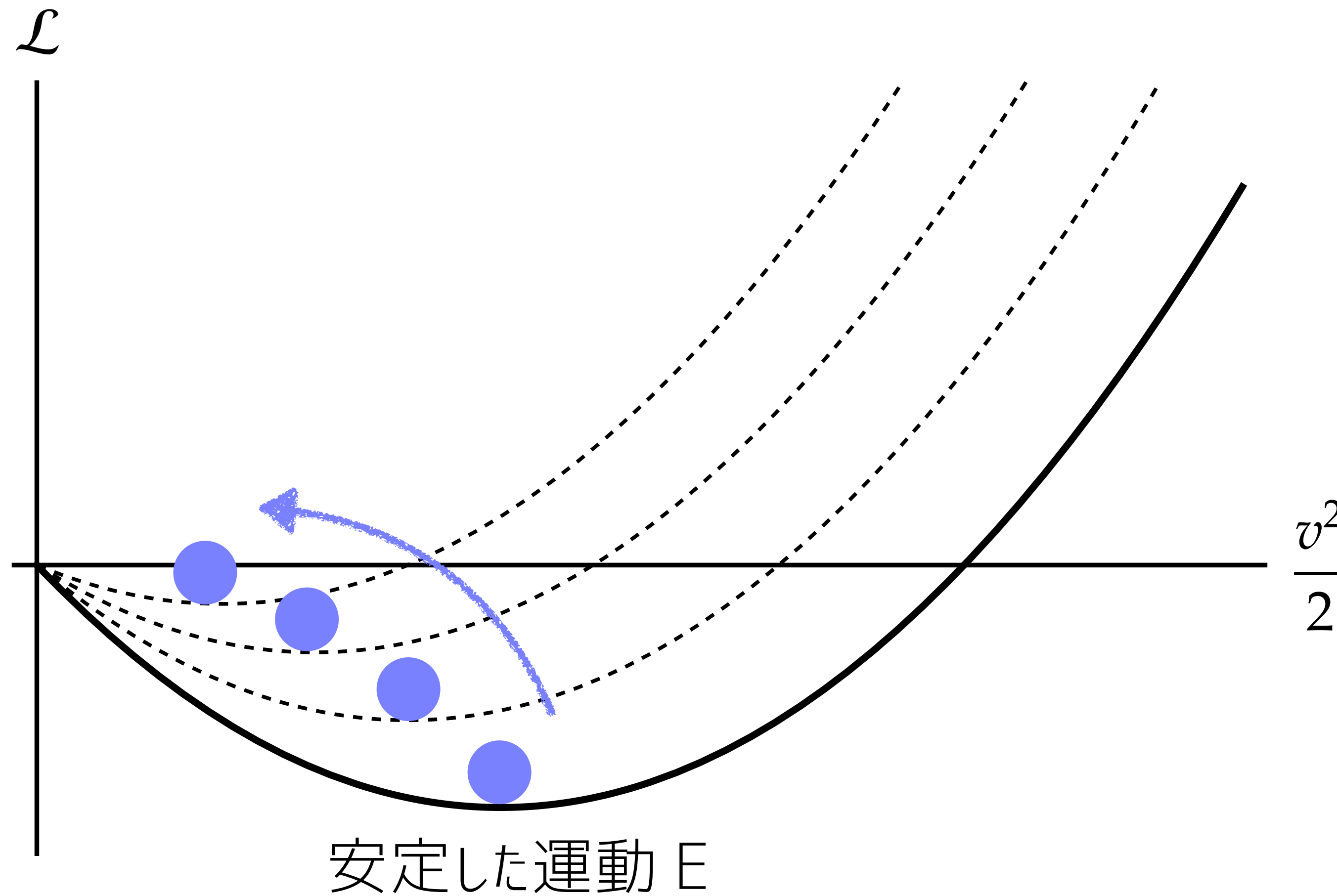
$$\mathcal{L} = - \left(\frac{1}{2} v^2 \right) + \left(\frac{1}{2} v^2 \right)^2$$

- インフラトンの音速が小さくなり
ゆらぎの非ガウス性が大きくなる

→ CMB から棄却

minimal k

Mikura, YT, Yokoyama '21



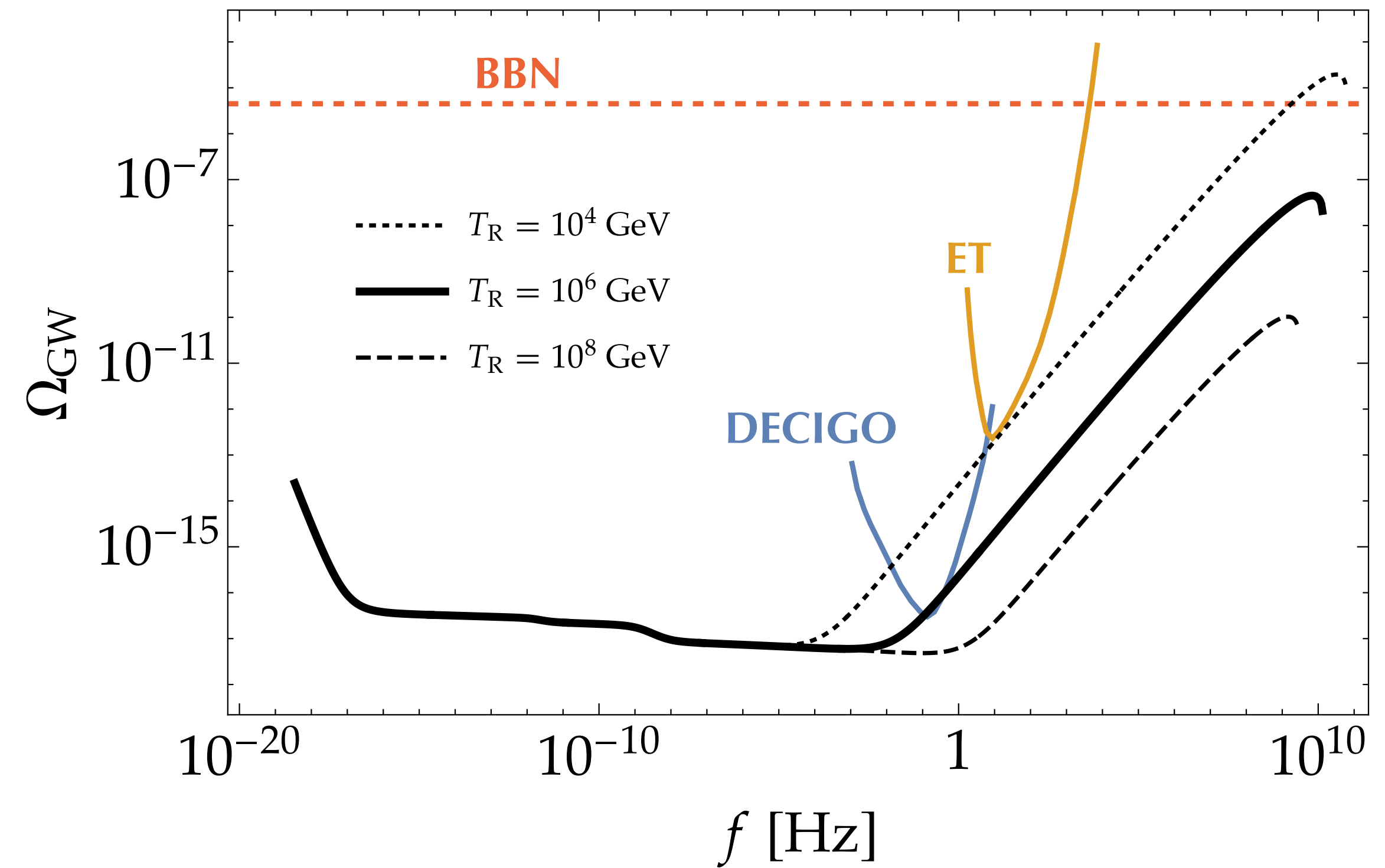
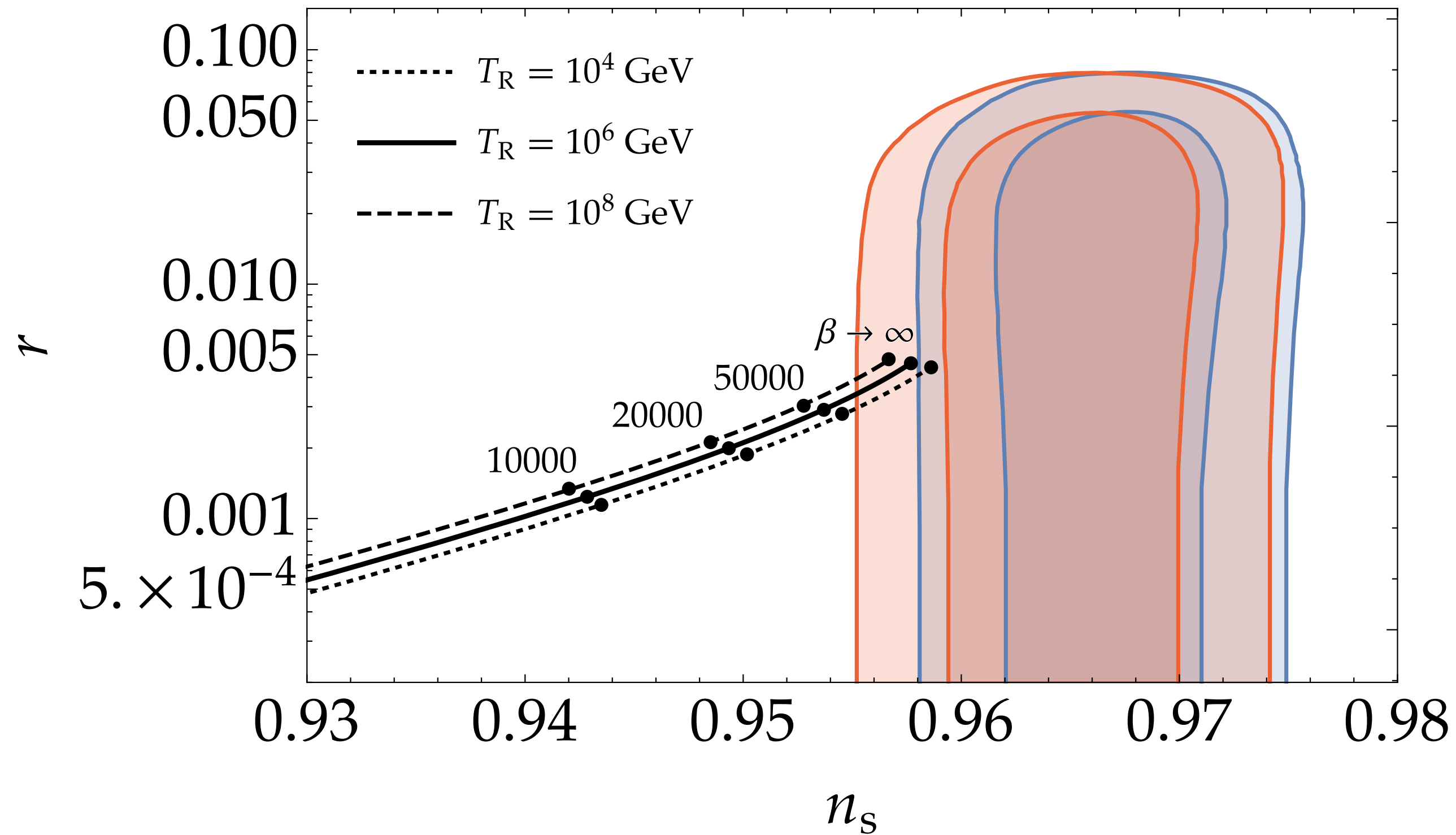
$$\mathcal{L} = -\phi \times \left(\frac{1}{2}v^2\right) + \left(\frac{1}{2}v^2\right)^2$$

非ガウス性許容範囲！

$$c_s \sim 0.03 > 0.021 (2\sigma)$$

minimal k

Mikura, YT, Yokoyama '21

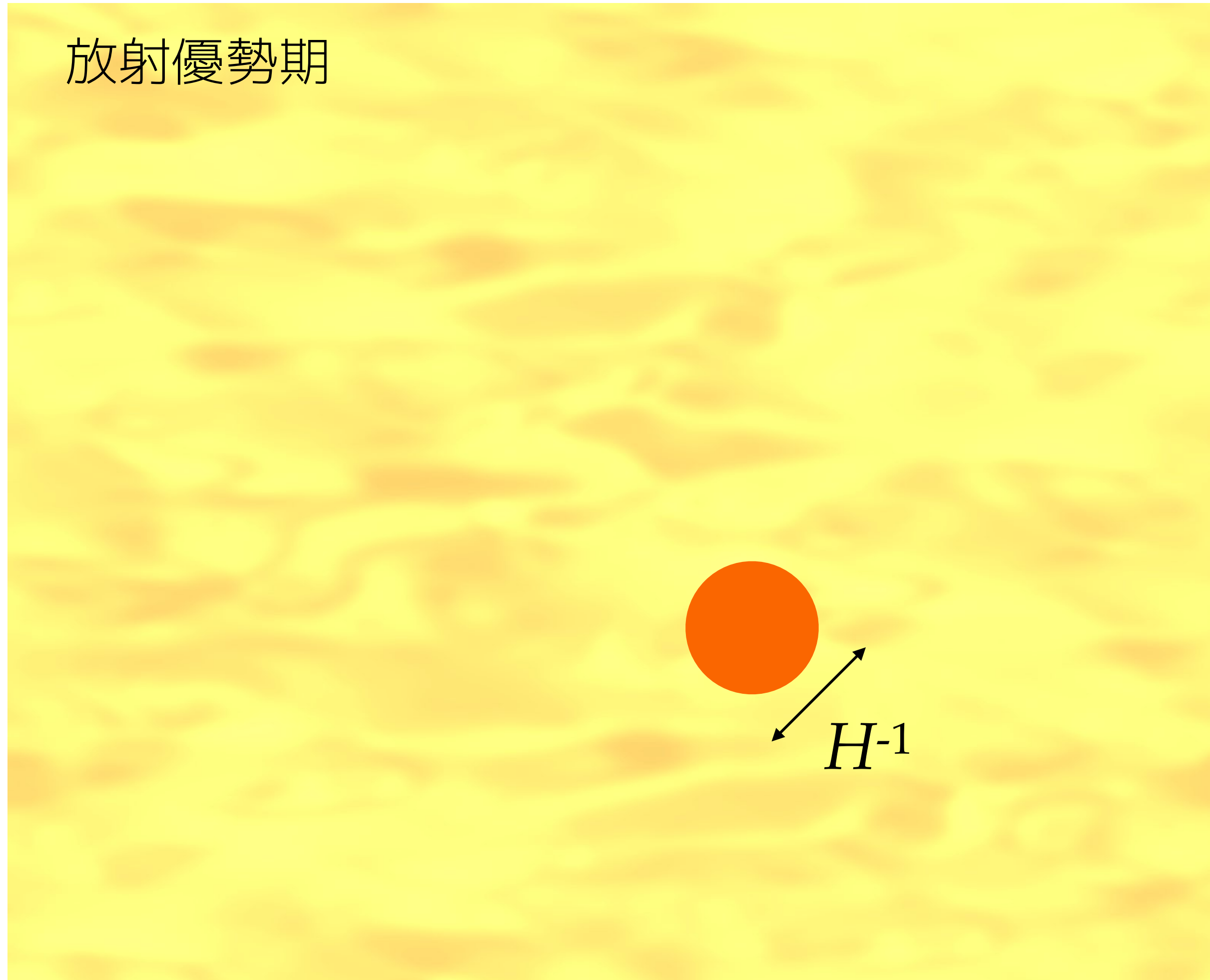


小まとめ

- Planck + BK でインフレーション理論に強い制限 ($r < 0.036$)
- 有望な理論 $r \sim \mathcal{O}(0.001) \Leftrightarrow \Omega_{\text{GW}} \sim \mathcal{O}(10^{-17})$
- kination 期があると GW は増幅できる

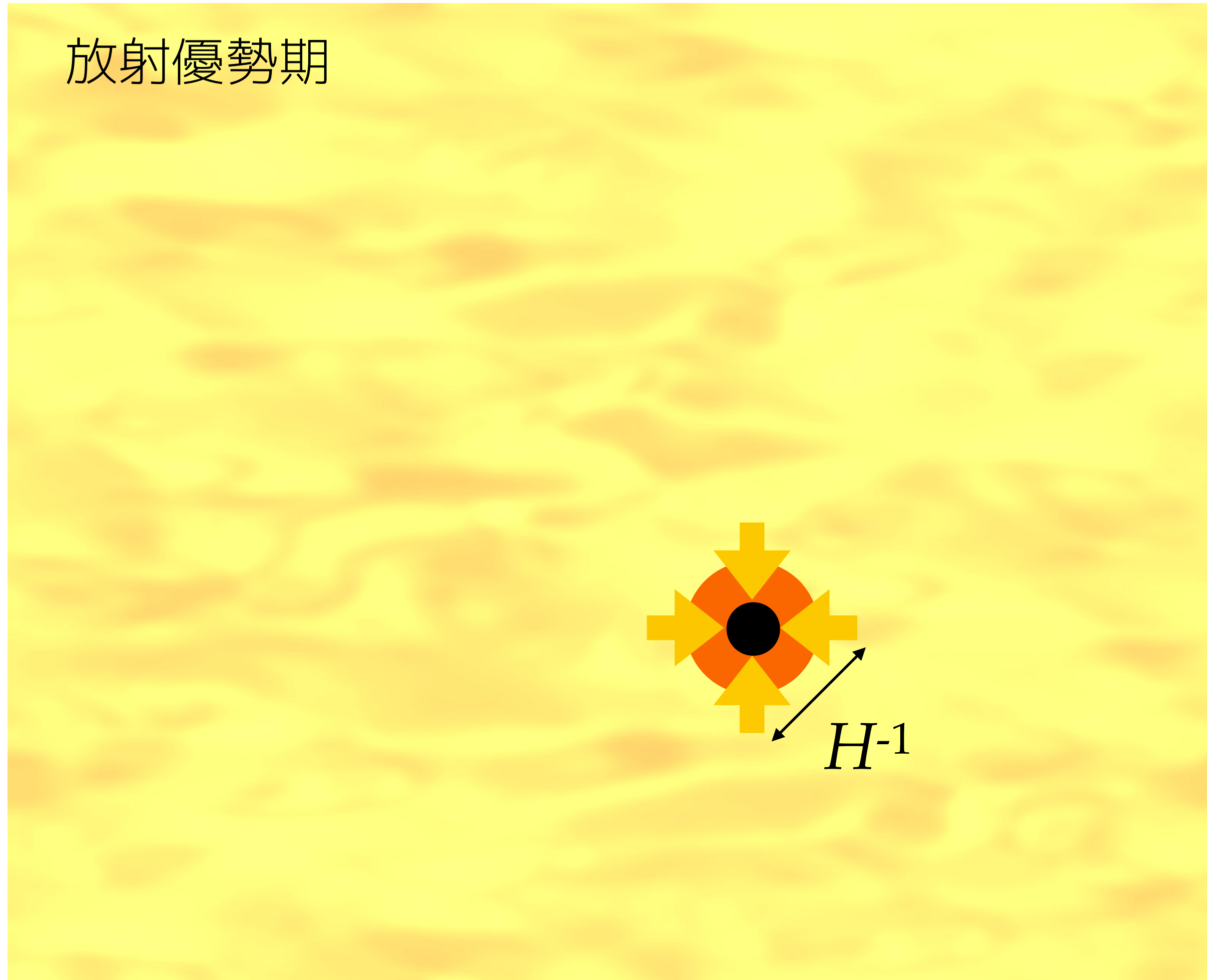
原始ブラックホール Carr & Hawking 1974

放射優勢期



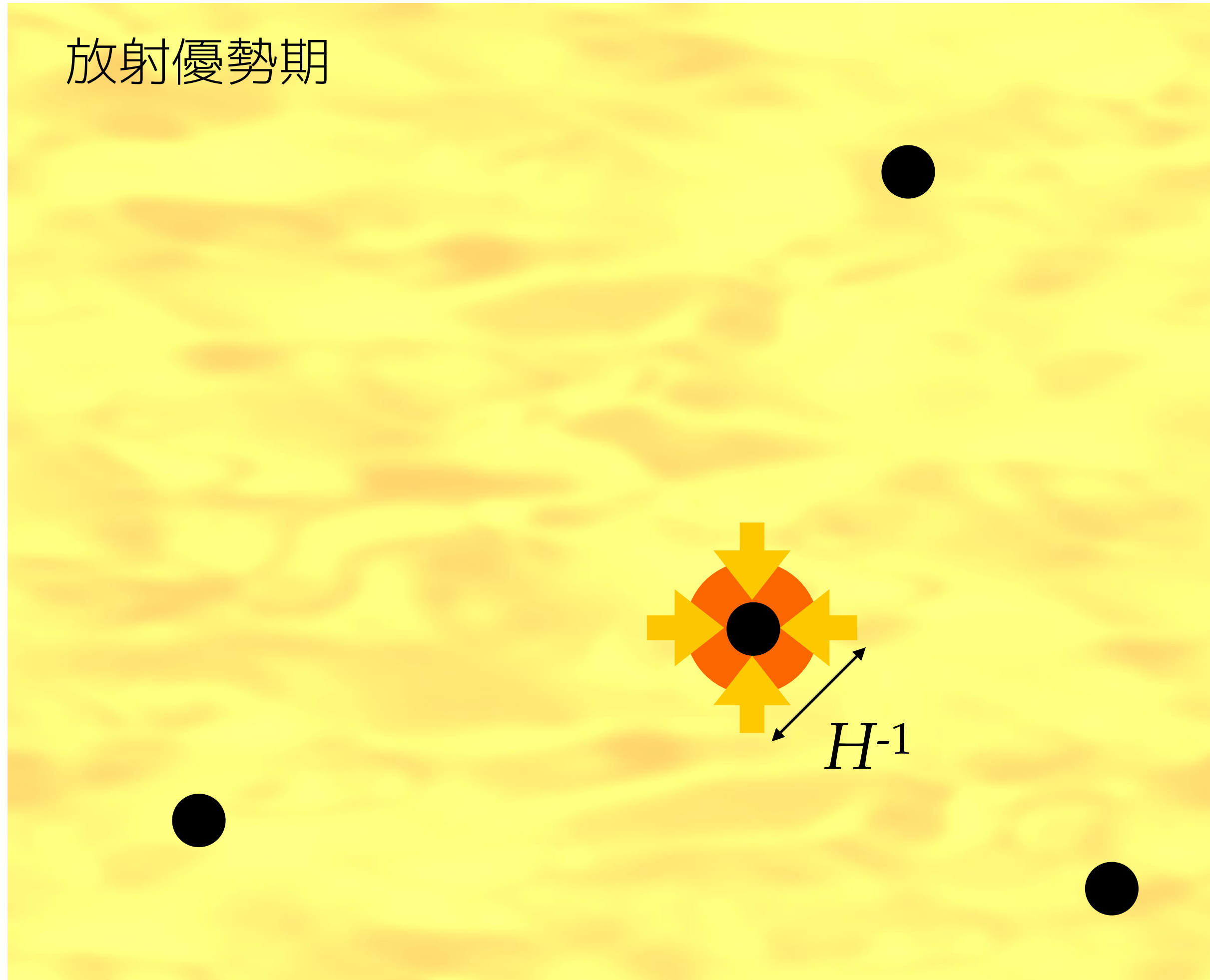
原始ブラックホール Carr & Hawking 1974

放射優勢期



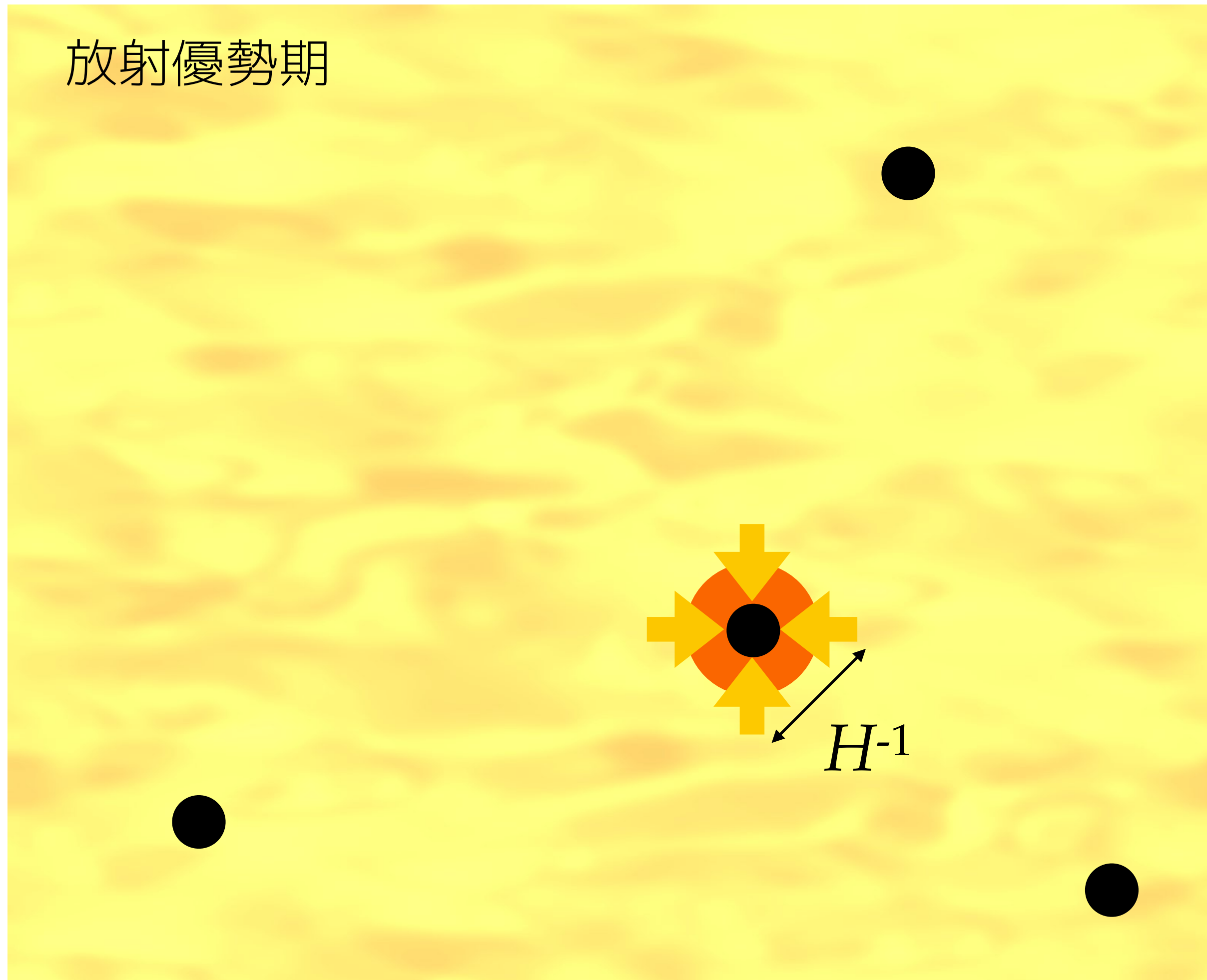
原始ブラックホール Carr & Hawking 1974

放射優勢期



原始ブラックホール Carr & Hawking 1974

放射優勢期

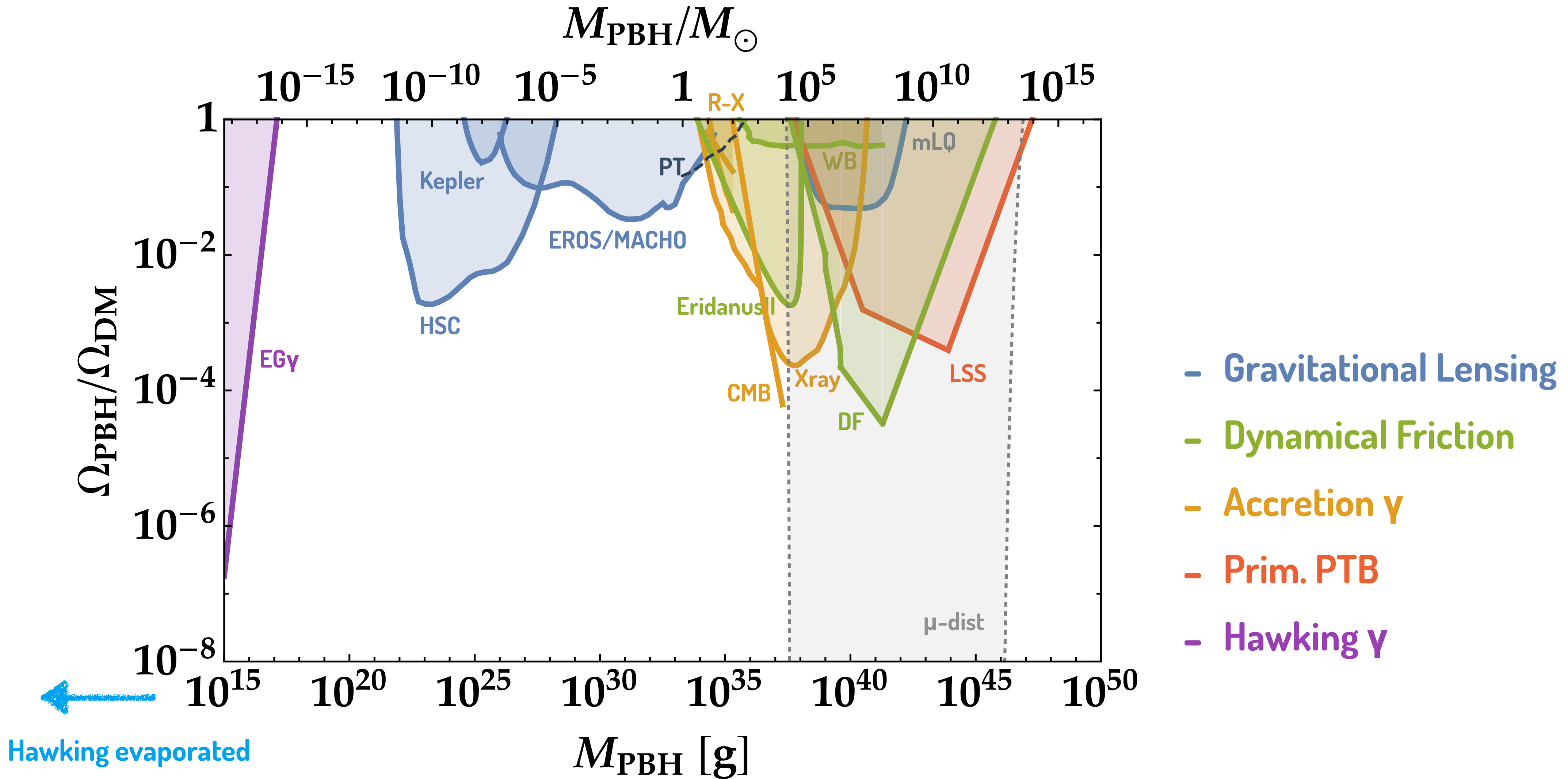


- PBH質量

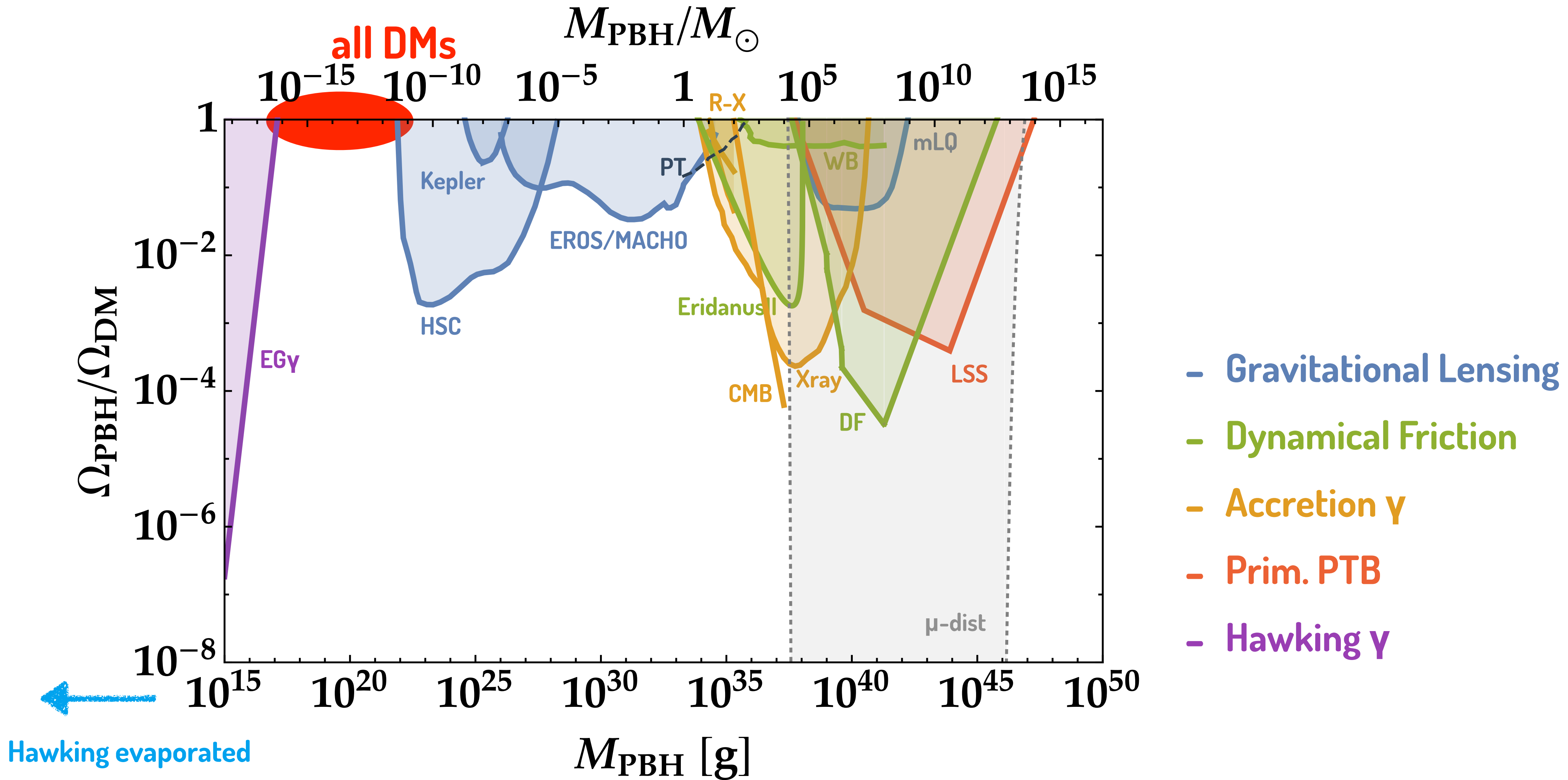
$$\begin{aligned} M_{\text{PBH}} &\sim M_{\text{H}} = \frac{4\pi}{3} \rho H^{-3} = \frac{1}{2GH} \\ &\sim M_{\odot} \left(\frac{t_{\text{PBH}}}{10^{-5} \text{ s}} \right) \quad M_{\odot} \simeq 2 \times 10^{33} \text{ g} \\ &\sim M_{\odot} \left(\frac{k_{\text{PBH}}}{4 \text{ pc}^{-1}} \right)^{-2} \end{aligned}$$

$$M_{\text{Pl}} \simeq 2 \times 10^{-5} \text{ g} \lesssim M_{\text{PBH}} \lesssim 10^{15} M_{\odot}$$

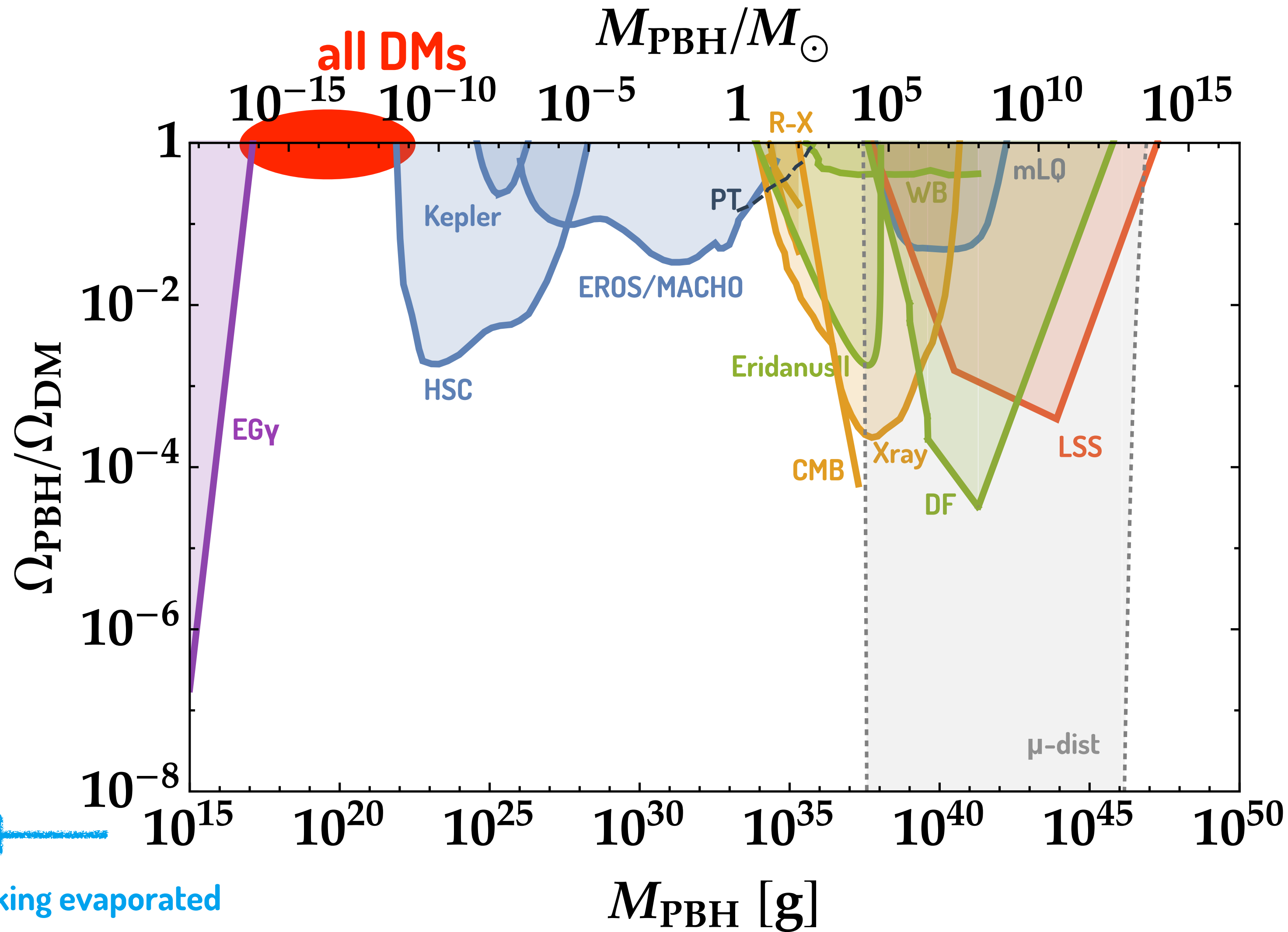
観測的制限および動機



観測的制限および動機



観測的制限および動機



通常よりやや重いBH

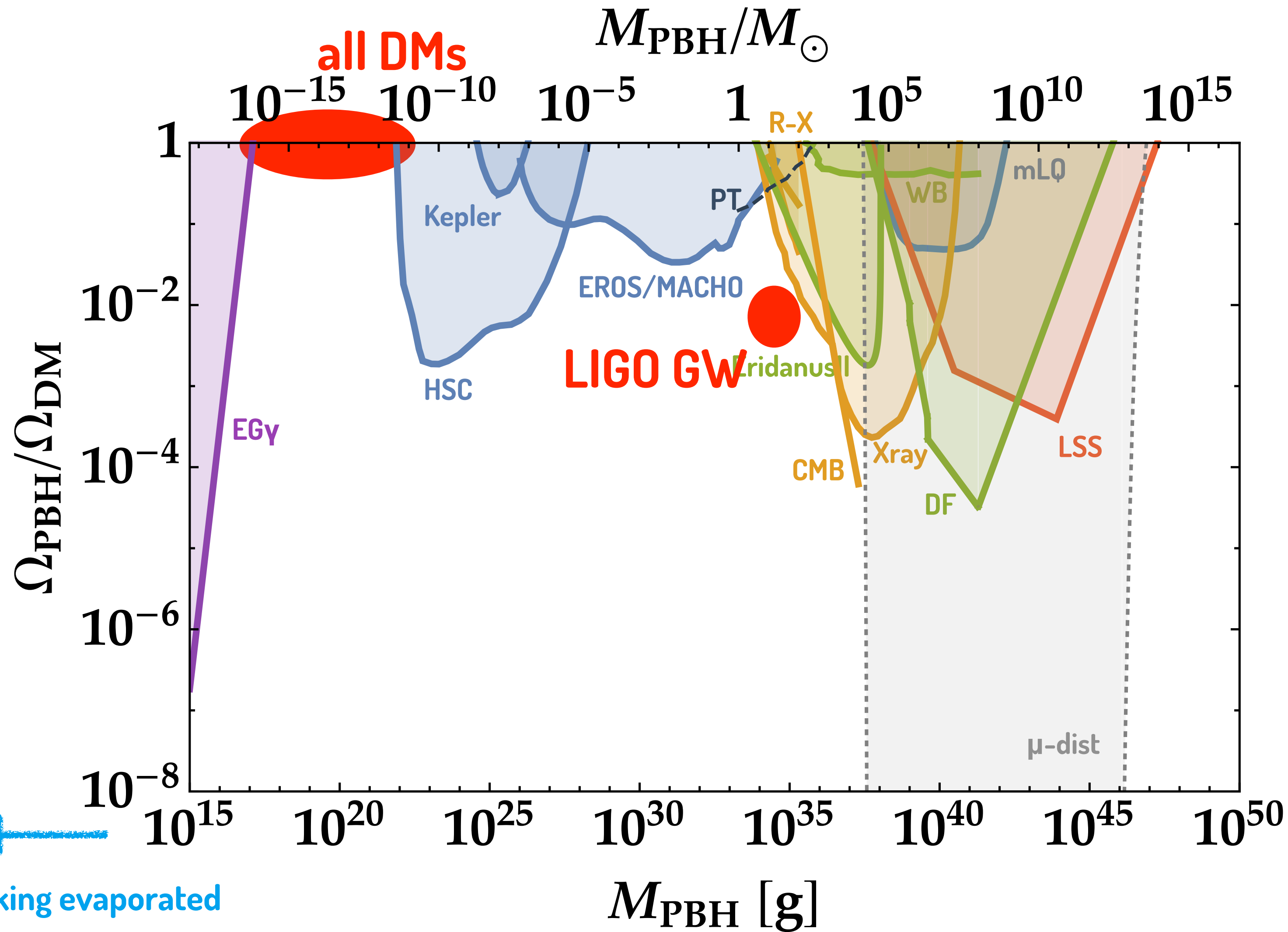
スピンなし

Event	m_1/M_{\odot}	m_2/M_{\odot}	M/M_{\odot}	χ_{eff}
GW150914	$35.6^{+4.8}_{-3.0}$	$30.6^{+3.0}_{-4.4}$	$28.6^{+1.6}_{-1.5}$	$-0.01^{+0.12}_{-0.13}$
GW151012	$23.3^{+14.0}_{-5.5}$	$13.6^{+4.1}_{-4.8}$	$15.2^{+2.0}_{-1.1}$	$0.04^{+0.28}_{-0.19}$
GW151226	$13.7^{+8.8}_{-3.2}$	$7.7^{+2.2}_{-2.6}$	$8.9^{+0.3}_{-0.3}$	$0.18^{+0.20}_{-0.12}$
GW170104	$31.0^{+7.2}_{-5.6}$	$20.1^{+4.9}_{-4.5}$	$21.5^{+2.1}_{-1.7}$	$-0.04^{+0.17}_{-0.20}$
GW170608	$10.9^{+5.3}_{-1.7}$	$7.6^{+1.3}_{-2.1}$	$7.9^{+0.2}_{-0.2}$	$0.03^{+0.19}_{-0.07}$
GW170729	$50.6^{+16.6}_{-10.2}$	$34.3^{+9.1}_{-10.1}$	$35.7^{+6.5}_{-4.7}$	$0.36^{+0.21}_{-0.25}$
GW170809	$35.2^{+8.3}_{-6.0}$	$23.8^{+5.2}_{-5.1}$	$25.0^{+2.1}_{-1.6}$	$0.07^{+0.16}_{-0.16}$
GW170814	$30.7^{+5.7}_{-3.0}$	$25.3^{+2.9}_{-4.1}$	$24.2^{+1.4}_{-1.1}$	$0.07^{+0.12}_{-0.11}$
GW170817	$1.46^{+0.12}_{-0.10}$	$1.27^{+0.09}_{-0.09}$	$1.186^{+0.001}_{-0.001}$	$0.00^{+0.02}_{-0.01}$
GW170818	$35.5^{+7.5}_{-4.7}$	$26.8^{+4.3}_{-5.2}$	$26.7^{+2.1}_{-1.7}$	$-0.09^{+0.18}_{-0.21}$
GW170823	$39.6^{+10.0}_{-6.6}$	$29.4^{+6.3}_{-7.1}$	$29.3^{+4.2}_{-3.2}$	$0.08^{+0.20}_{-0.22}$

LIGO/Virgo 2018

Hawking evaporated

観測的制限および動機



通常よりやや重いBH

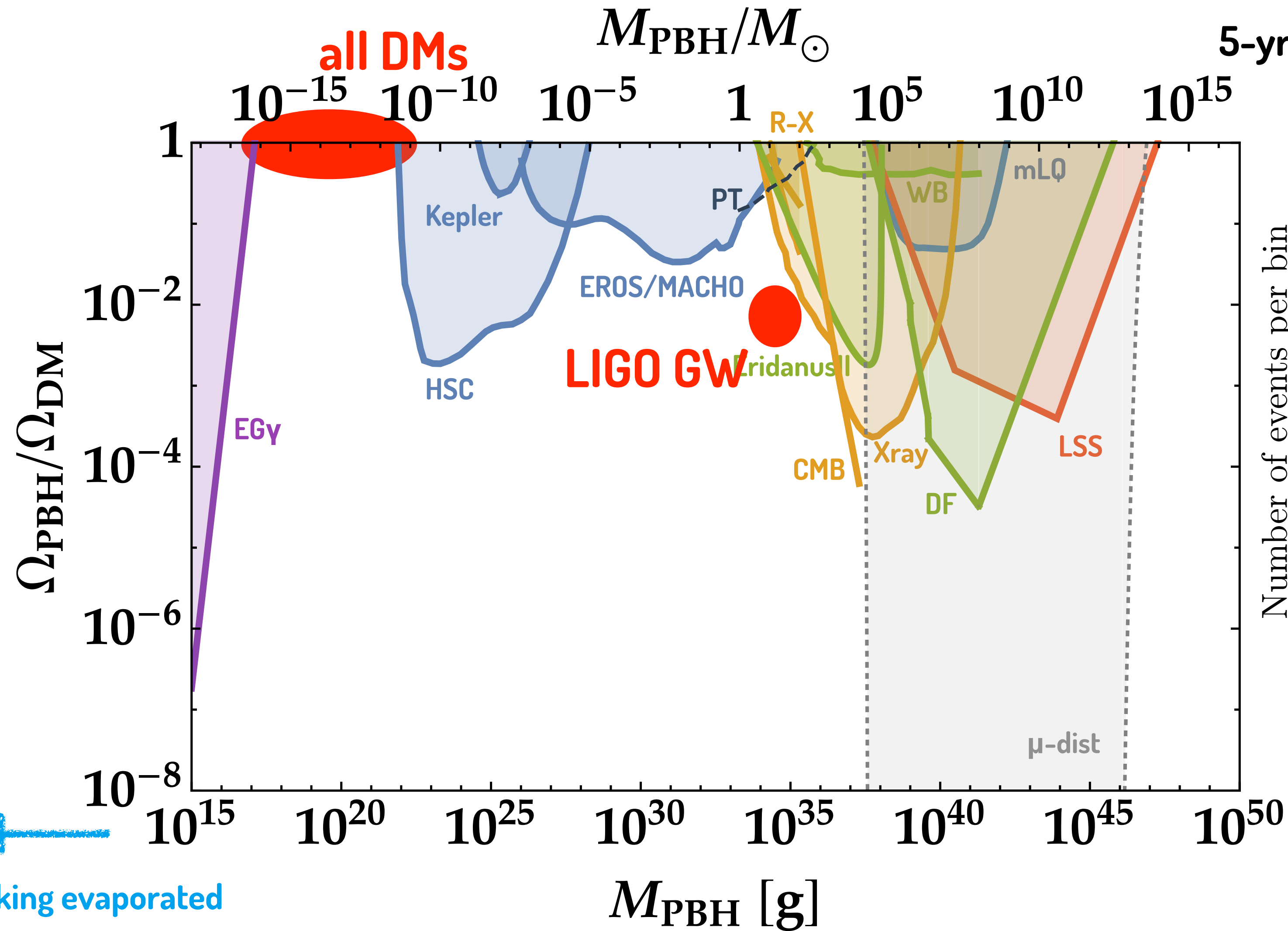
スピンなし

Event	m_1/M_\odot	m_2/M_\odot	M/M_\odot	χ_{eff}
GW150914	$35.6^{+4.8}_{-3.0}$	$30.6^{+3.0}_{-4.4}$	$28.6^{+1.6}_{-1.5}$	$-0.01^{+0.12}_{-0.13}$
GW151012	$23.3^{+14.0}_{-5.5}$	$13.6^{+4.1}_{-4.8}$	$15.2^{+2.0}_{-1.1}$	$0.04^{+0.28}_{-0.19}$
GW151226	$13.7^{+8.8}_{-3.2}$	$7.7^{+2.2}_{-2.6}$	$8.9^{+0.3}_{-0.3}$	$0.18^{+0.20}_{-0.12}$
GW170104	$31.0^{+7.2}_{-5.6}$	$20.1^{+4.9}_{-4.5}$	$21.5^{+2.1}_{-1.7}$	$-0.04^{+0.17}_{-0.20}$
GW170608	$10.9^{+5.3}_{-1.7}$	$7.6^{+1.3}_{-2.1}$	$7.9^{+0.2}_{-0.2}$	$0.03^{+0.19}_{-0.07}$
GW170729	$50.6^{+16.6}_{-10.2}$	$34.3^{+9.1}_{-10.1}$	$35.7^{+6.5}_{-4.7}$	$0.36^{+0.21}_{-0.25}$
GW170809	$35.2^{+8.3}_{-6.0}$	$23.8^{+5.2}_{-5.1}$	$25.0^{+2.1}_{-1.6}$	$0.07^{+0.16}_{-0.16}$
GW170814	$30.7^{+5.7}_{-3.0}$	$25.3^{+2.9}_{-4.1}$	$24.2^{+1.4}_{-1.1}$	$0.07^{+0.12}_{-0.11}$
GW170817	$1.46^{+0.12}_{-0.10}$	$1.27^{+0.09}_{-0.09}$	$1.186^{+0.001}_{-0.001}$	$0.00^{+0.02}_{-0.01}$
GW170818	$35.5^{+7.5}_{-4.7}$	$26.8^{+4.3}_{-5.2}$	$26.7^{+2.1}_{-1.7}$	$-0.09^{+0.18}_{-0.21}$
GW170823	$39.6^{+10.0}_{-6.6}$	$29.4^{+6.3}_{-7.1}$	$29.3^{+4.2}_{-3.2}$	$0.08^{+0.20}_{-0.22}$

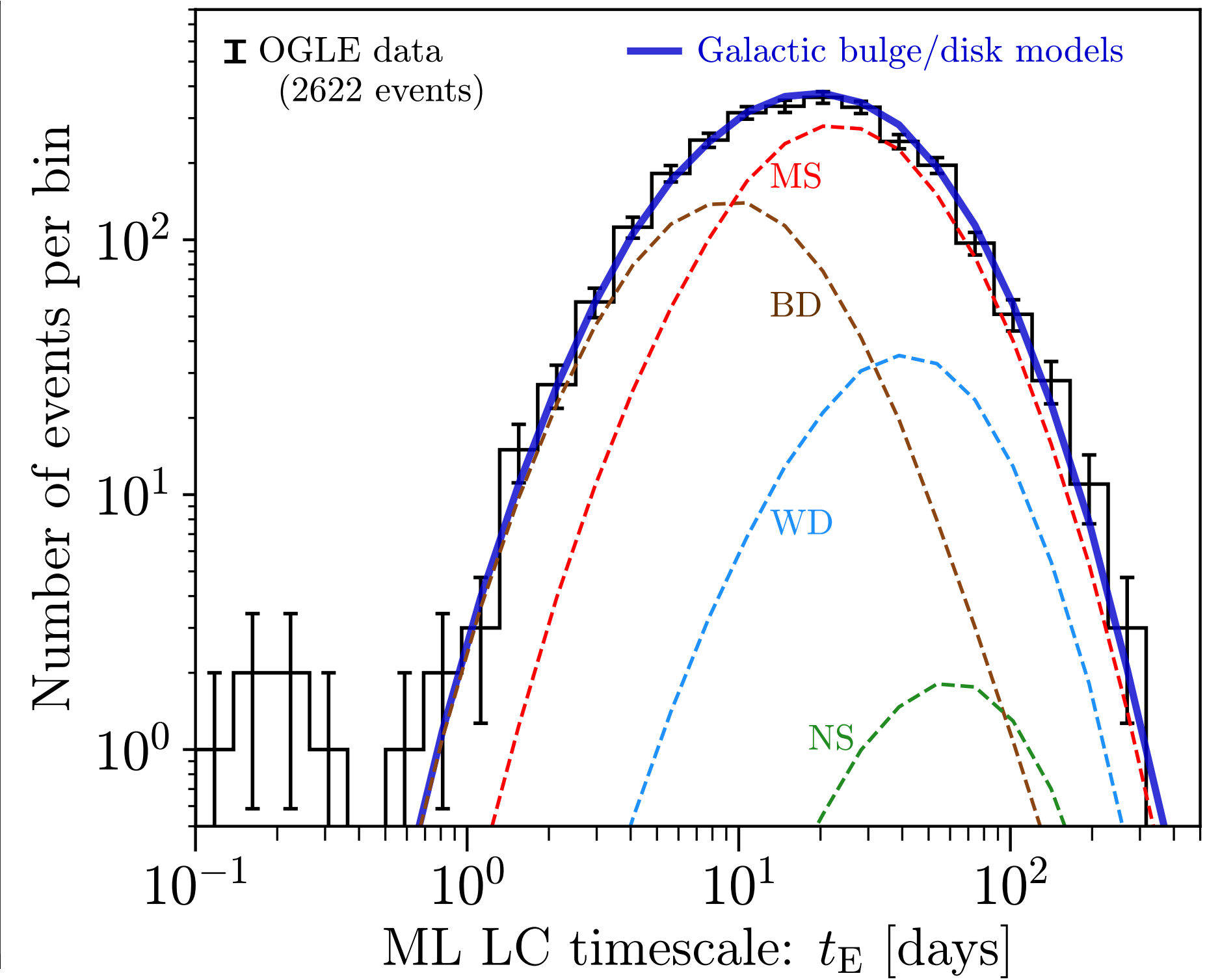
LIGO/Virgo 2018

Hawking evaporated

観測的制限および動機

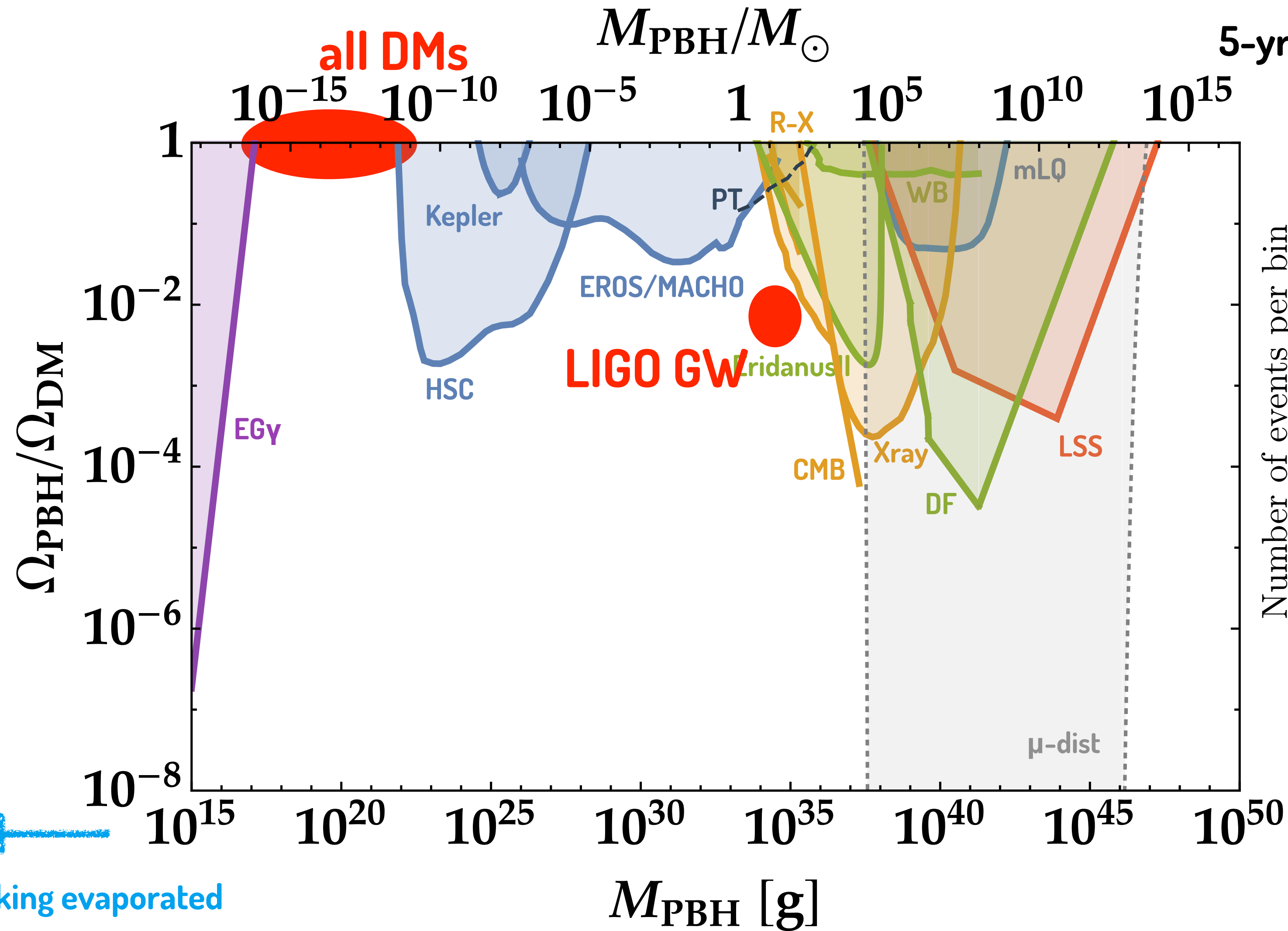


5-yr Optical Gravitational Lensing Experiment (OGLE)
Niikura+ 2019

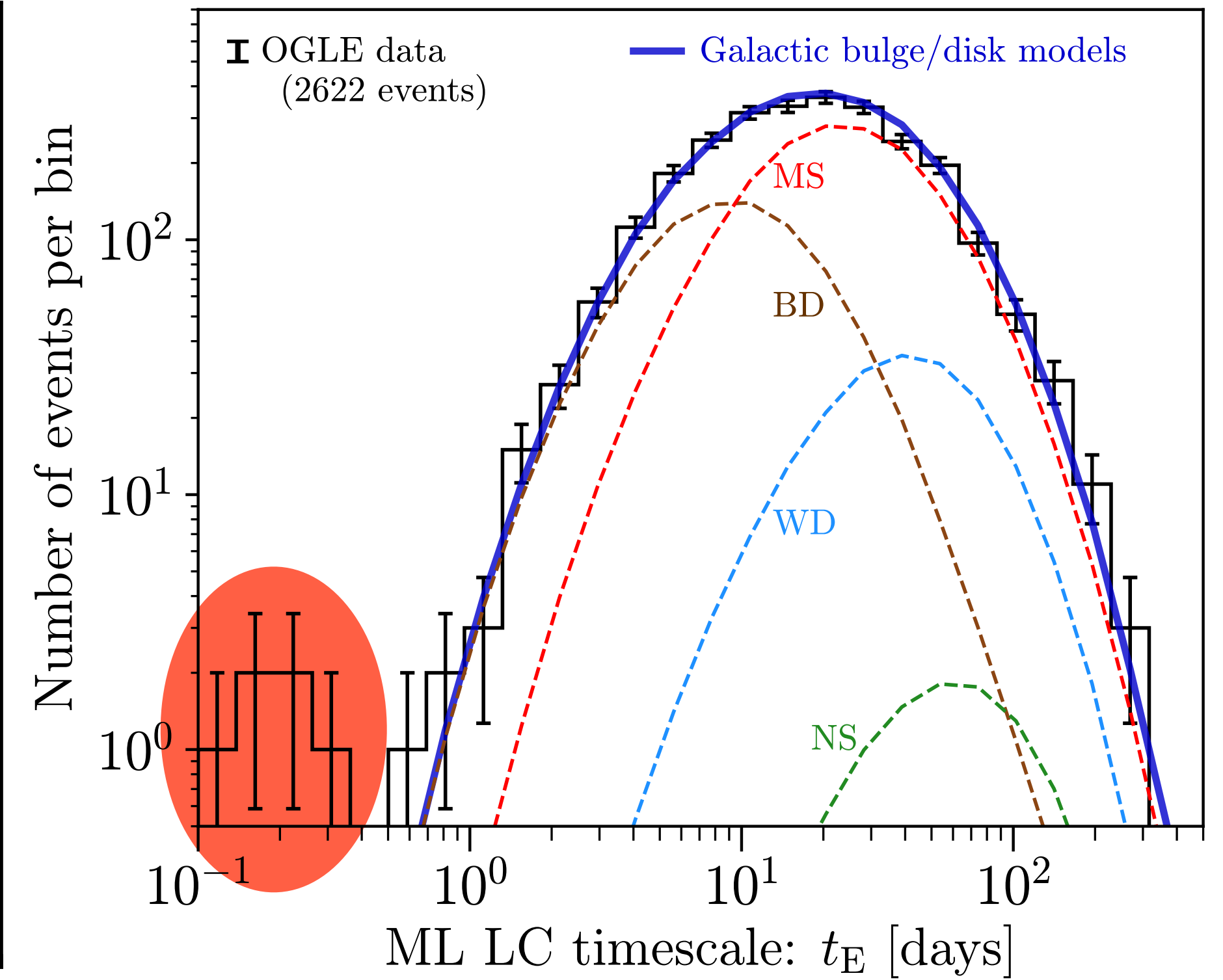


Hawking evaporated

観測的制限および動機

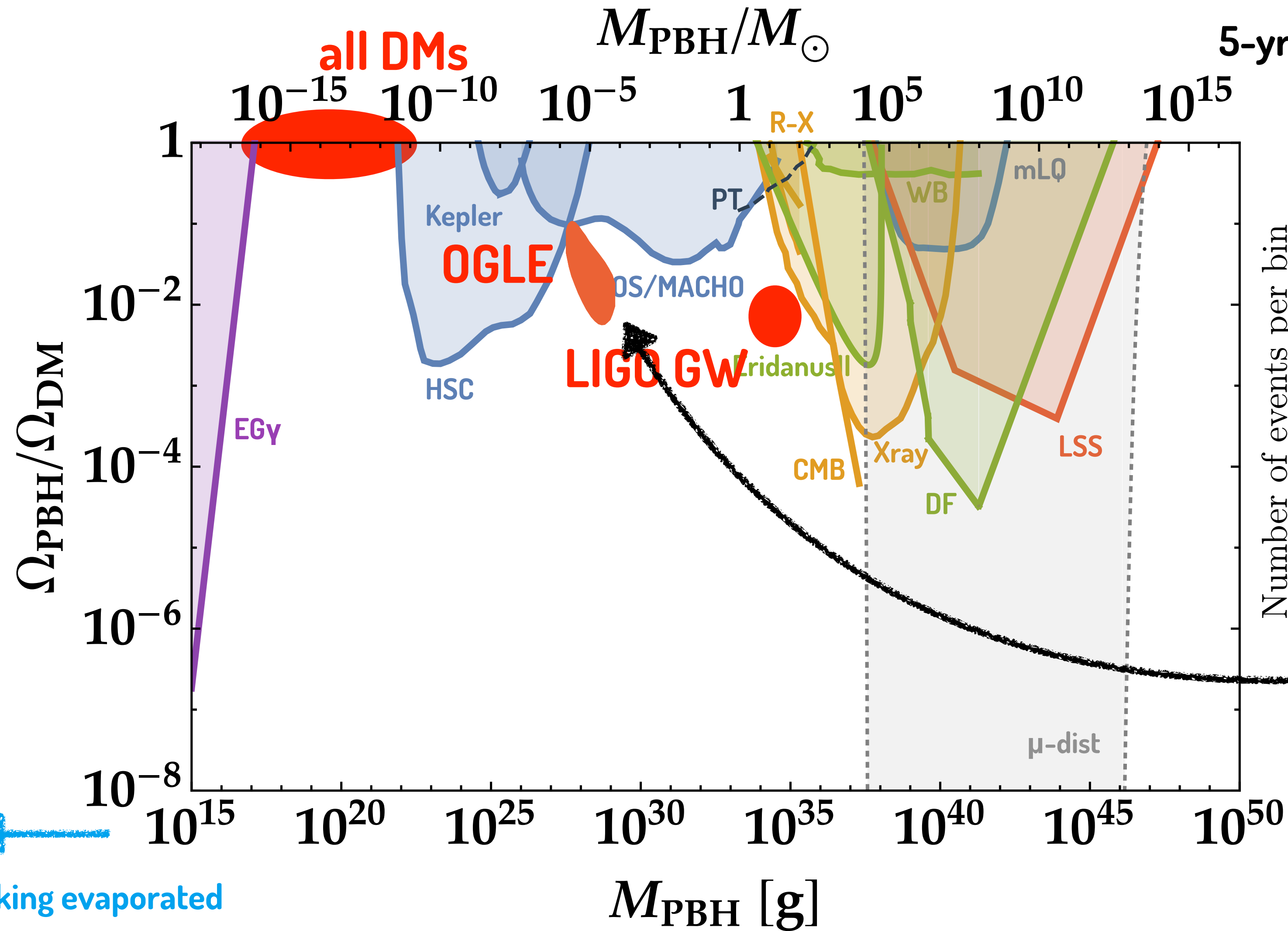


5-yr Optical Gravitational Lensing Experiment (OGLE)
Niikura+ 2019

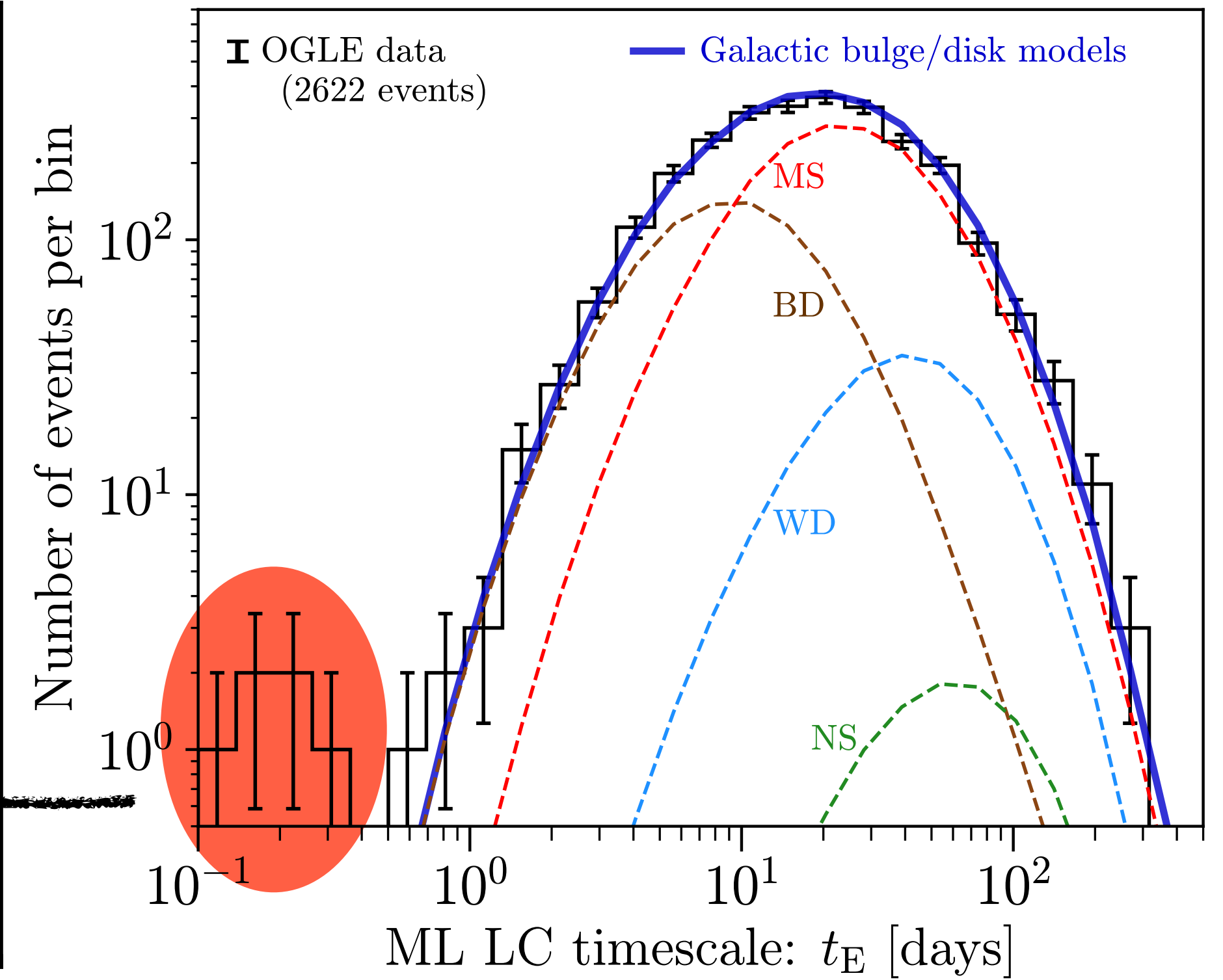


Hawking evaporated

観測的制限および動機



5-yr Optical Gravitational Lensing Experiment (OGLE)
Niikura+ 2019

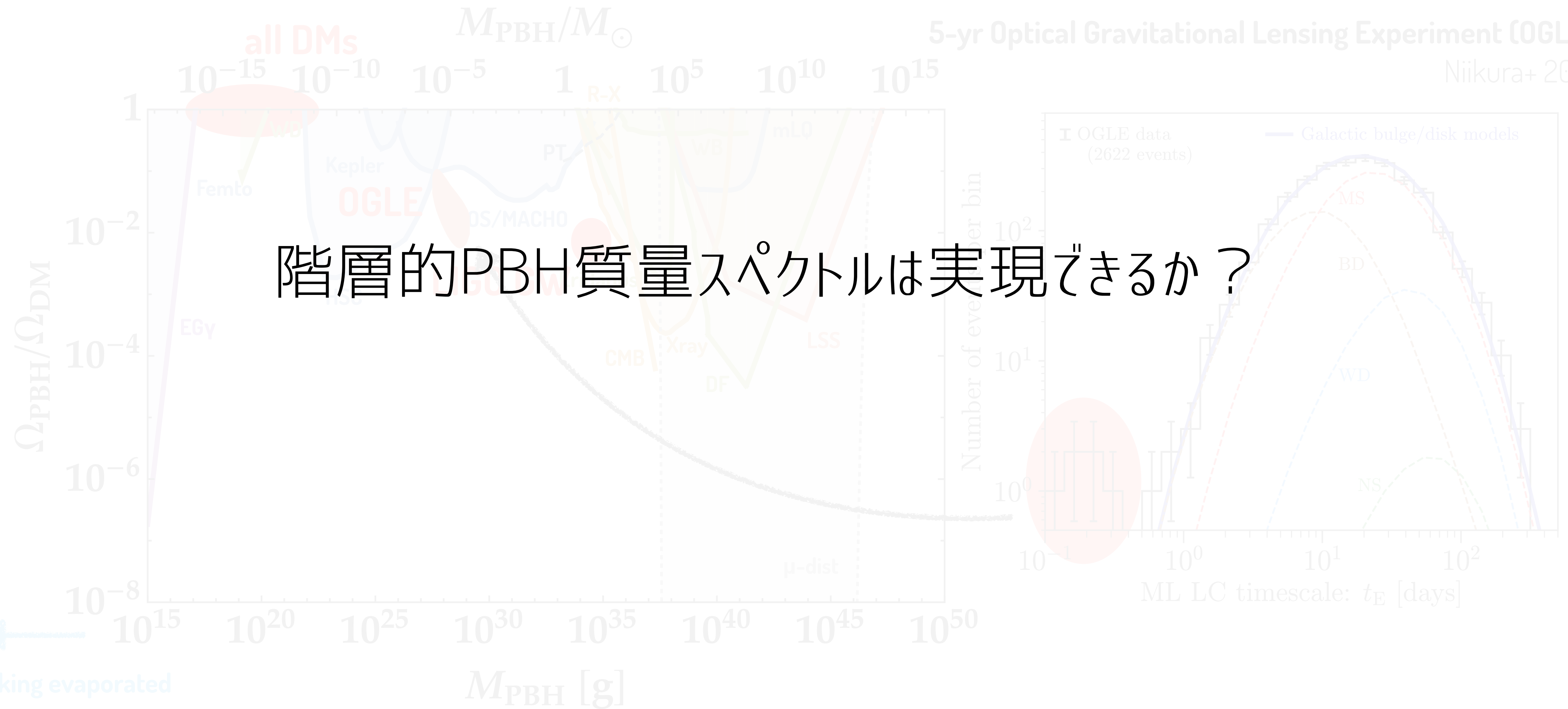


Hawking evaporated

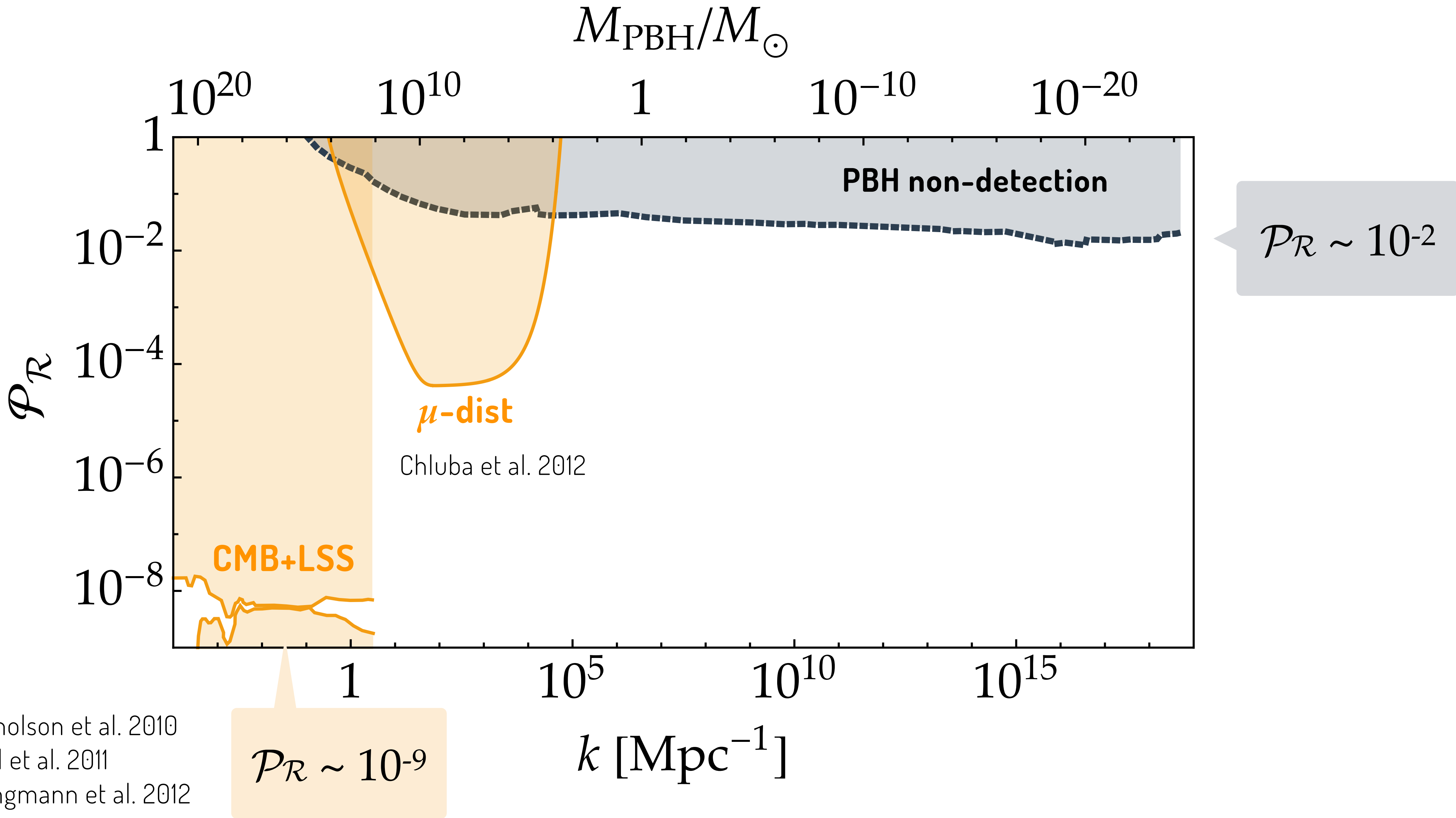
観測的制限および動機

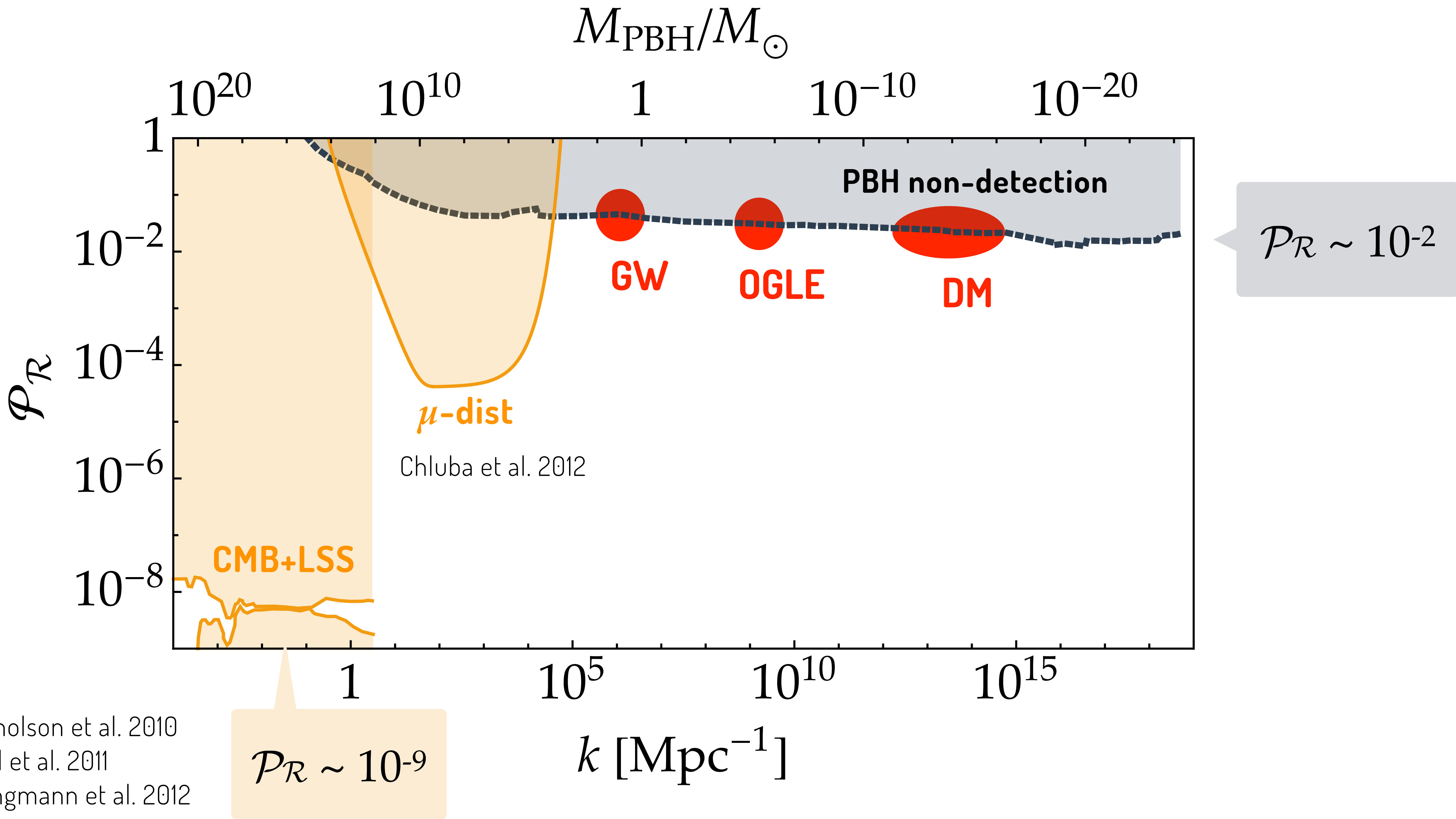
5-yr Optical Gravitational Lensing Experiment (OGLE)

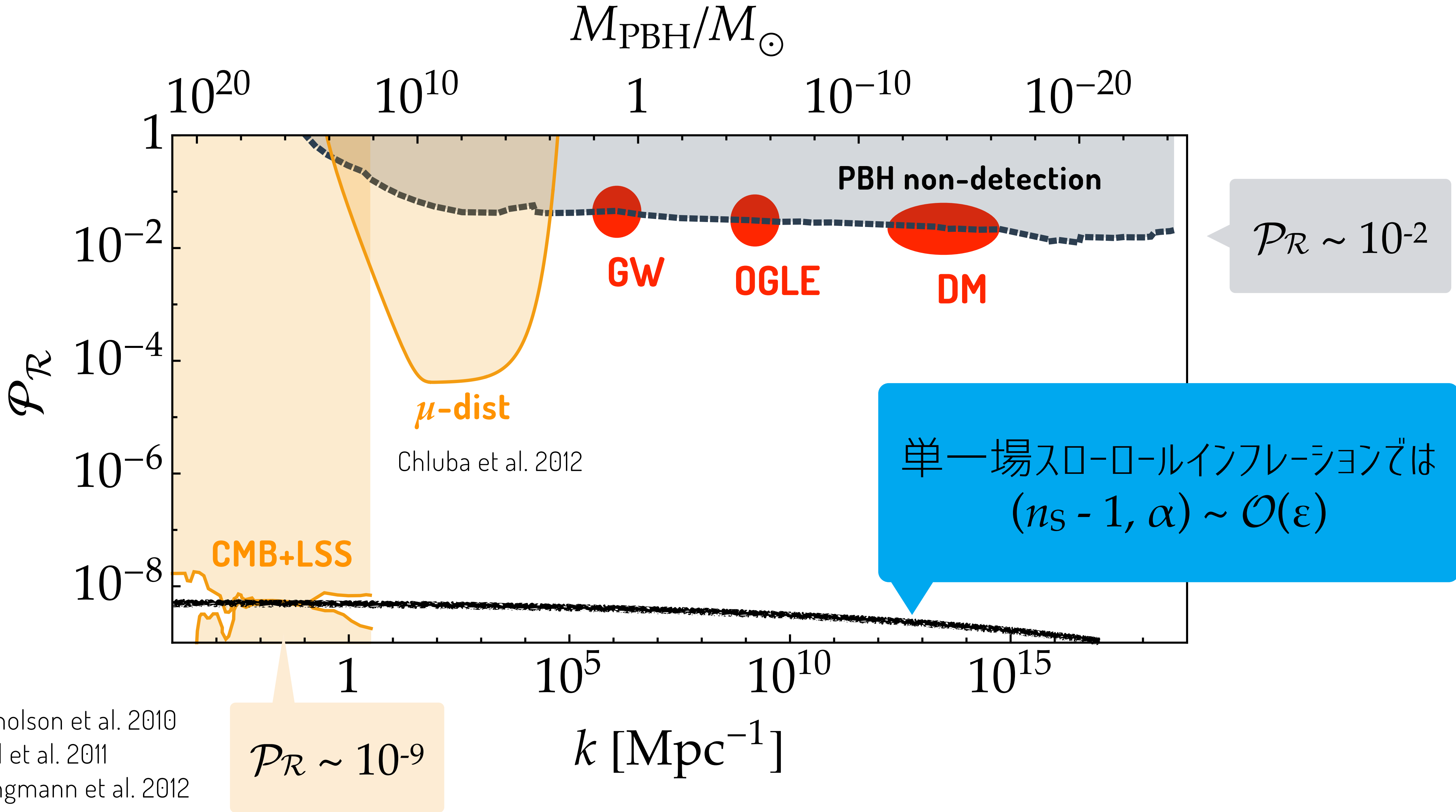
Niikura+ 2019

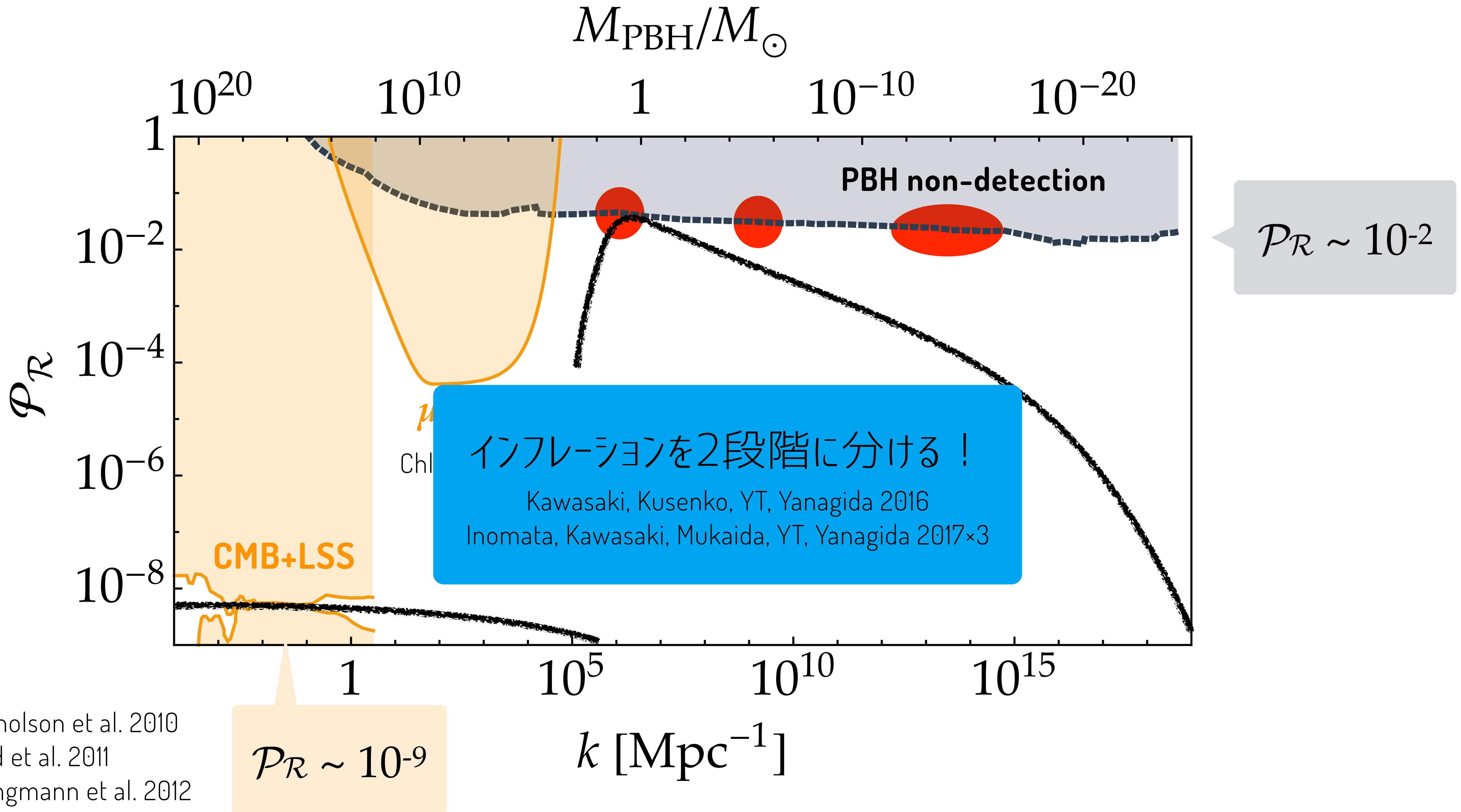


階層的PBH質量スペクトルは実現できるか？



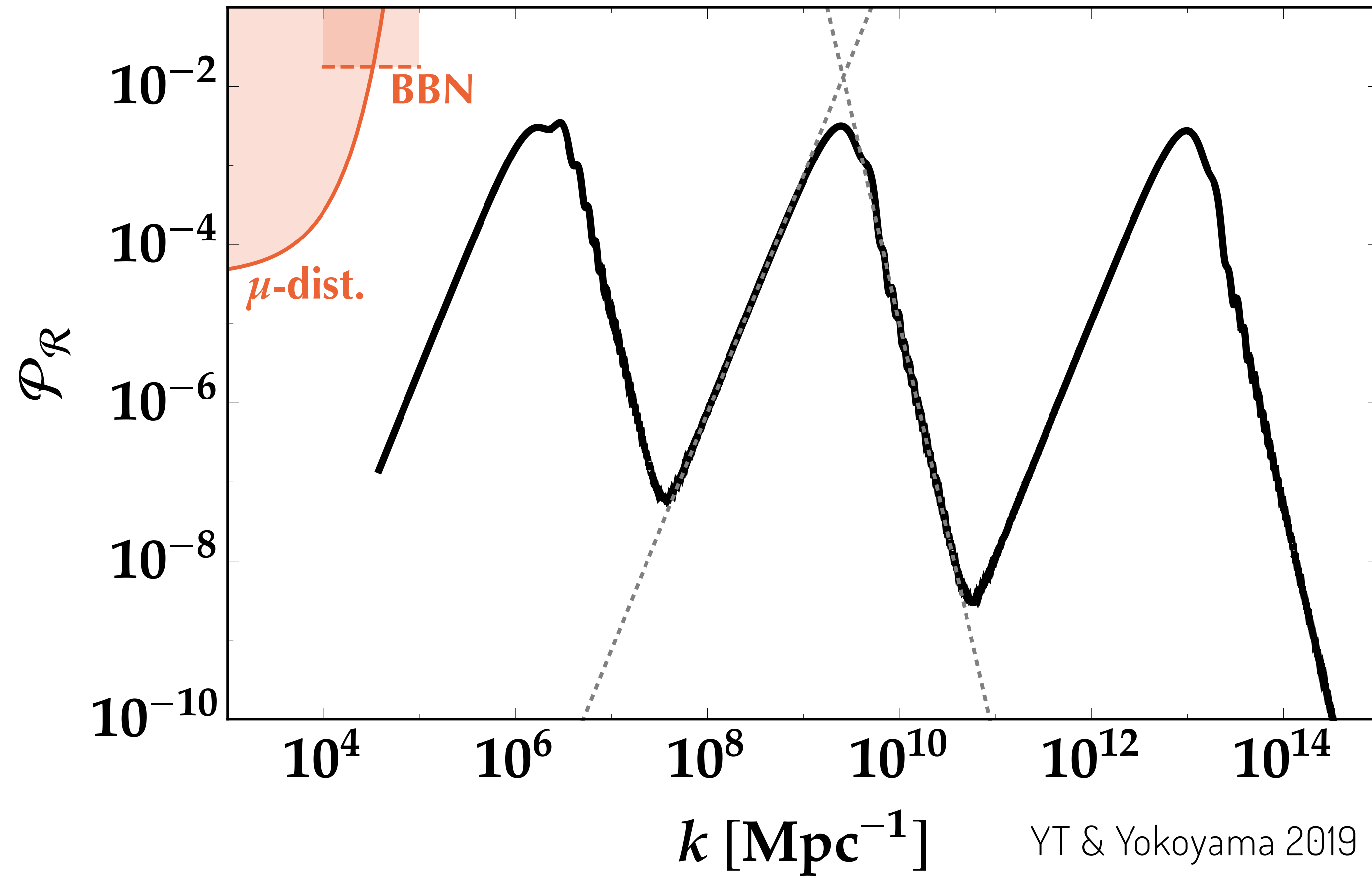






Nicholson et al. 2010
 Bird et al. 2011
 Bringmann et al. 2012

極端な例



- 4つの hilltop inflation

$$V_{\text{hill}} = \sum_{i=1}^4 V_{\text{hill},i} +$$

- 固定項

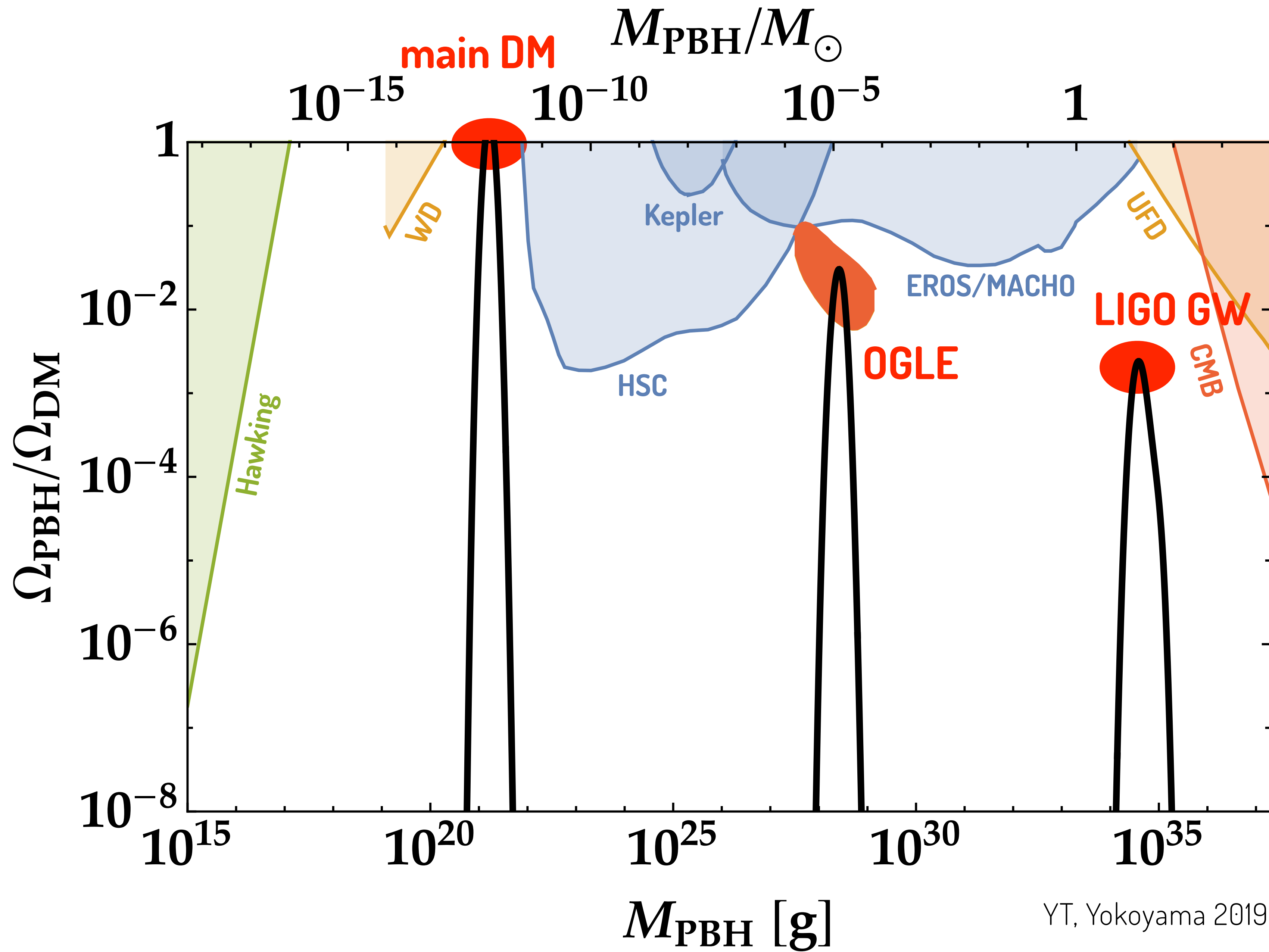
$$V_{\text{stab}} = \sum_{i \neq j} \frac{c_{ij}}{2} V_{\text{hill},i} \frac{\phi_j^2}{M_{\text{Pl}}^2}$$

- 段階- i 中:

ϕ_{i+1} をポテンシャル上に固定

- $V_{\text{hill},i}$ の減衰後:

段階- $(i+1)$ が始まる



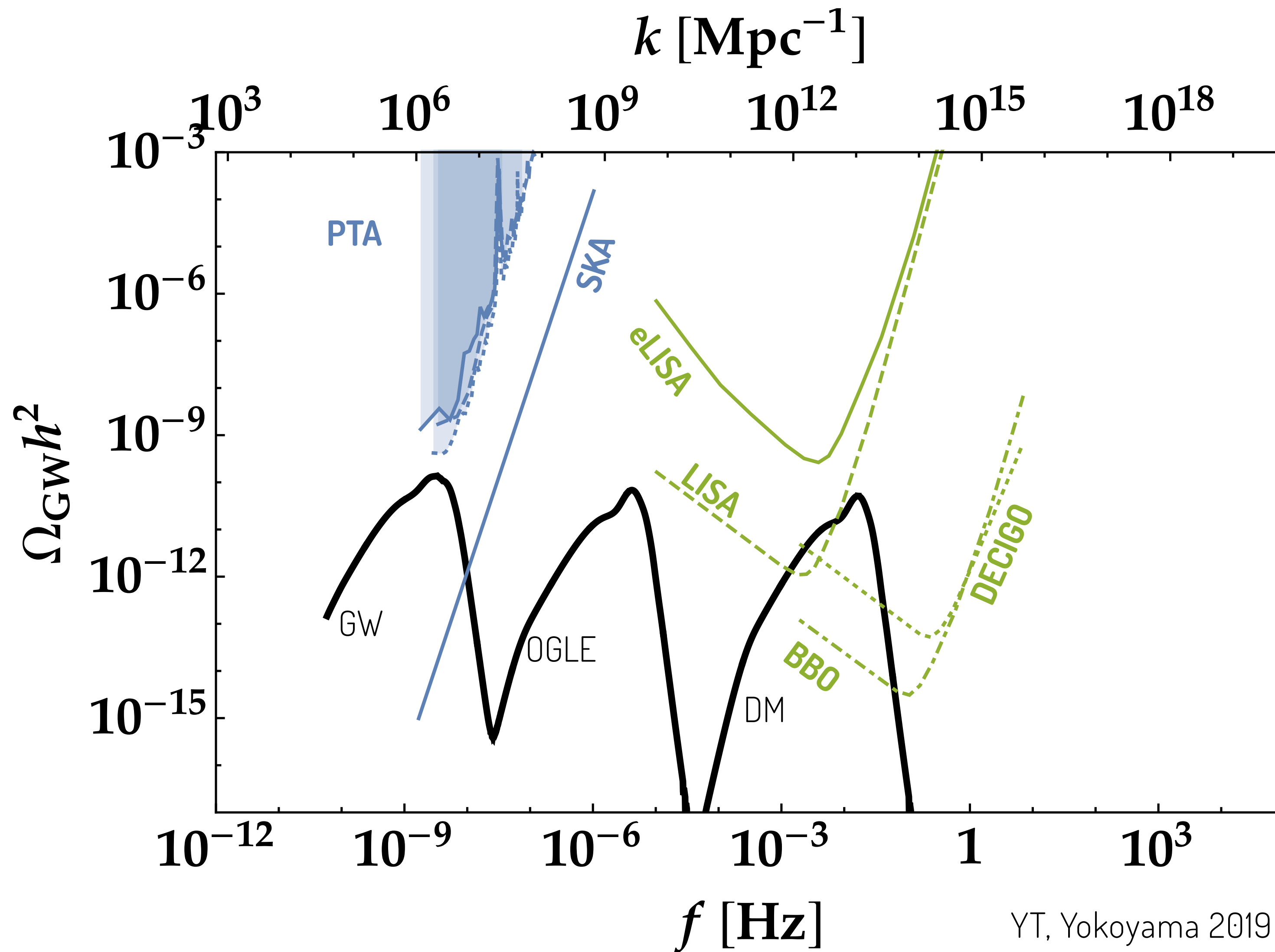
クロスチェック

大きいスカラー (密度) ゆらぎ



摂動の2次でテンソルゆらぎ
(背景重力波)

$$\Omega_{\text{GW}} h^2 \sim 10^{-9} \left(\frac{\mathcal{P}_{\mathcal{R}}}{10^{-2}} \right)^2$$



YT, Yokoyama 2019

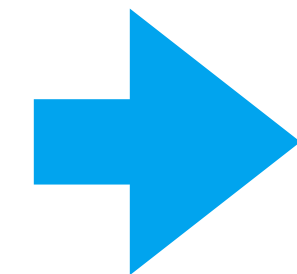
超弦理論への示唆？

dS swampland conjecture Ooguri & Vafa+ 2018

「UV 完備な EFT では dS 真空は安定にならない？」

$$\epsilon_V = \frac{M_{\text{Pl}}^2}{2} \left(\frac{V''}{V} \right)^2 \gtrsim \mathcal{O}(1) \quad \text{or} \quad \eta_V = M_{\text{Pl}}^2 \frac{V'''}{V} \lesssim -\mathcal{O}(1)$$

各インフレーション相は長く続かない



多段階にして合わせて 60 e-folds

– CMB scale?

インフラトンがゆらぎを作るとすると

$$\text{Planck 2018} \quad -0.035 \times \frac{d \log \mathcal{P}_\zeta}{d \log k}(k_{\text{CMB}}) = n_s - 1 \simeq -6\epsilon_V + 2\eta_V$$

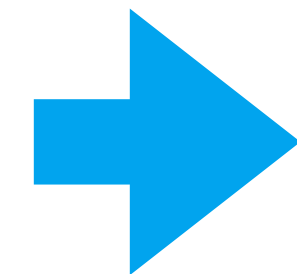
超弦理論への示唆？

dS swampland conjecture Ooguri & Vafa+ 2018

「UV 完備な EFT では dS 真空は安定にならない？」

$$\epsilon_V = \frac{M_{\text{Pl}}^2}{2} \left(\frac{V''}{V} \right)^2 \gtrsim \mathcal{O}(1) \quad \text{or} \quad \eta_V = M_{\text{Pl}}^2 \frac{V'''}{V} \lesssim -\mathcal{O}(1)$$

各インフレーション相は長く続かない



多段階にして合わせて 60 e-folds

– CMB scale?

カーバトンなら Kogai, YT '20

$$-0.035 \simeq \frac{d \log \mathcal{P}_\zeta}{d \log k}(k_{\text{CMB}}) = n_s - 1 \simeq -2\epsilon_V + \frac{2 m_\sigma^2}{3 H^2}$$

Planck 2018

まとめ

- Planck + BK でインフレーション理論に強い制限 ($r < 0.036$)
- 有望な理論 $r \sim \mathcal{O}(0.001) \Leftrightarrow \Omega_{\text{GW}} \sim \mathcal{O}(10^{-17})$
- kination 期があると GW は増幅できる
- PBH-DM $\Leftrightarrow \Omega_{\text{GW}}(f \sim 10 \text{ mHz}) \sim 10^{-9}$